

Beatrice Kraxner

# Spezielle Kreiskonfigurationen der euklidischen Ebene

## DIPLOMARBEIT

zur Erlangung des akademischen Grades

Magistra rerum naturalium

Diplomstudium Lehramtsstudium im Unterrichtsfach Darstellende Geometrie

eingereicht an der

**Technischen Universität Graz**

Betreuer:

Univ.-Prof. Dr. Otto Röschel

Institut für Geometrie

Graz, Juni 2014

## EIDESSTATTLICHE ERKLÄRUNG

### *AFFIDAVIT*

Ich erkläre an Eides statt, dass ich die vorliegende Arbeit selbstständig verfasst, andere als die angegebenen Quellen/Hilfsmittel nicht benutzt, und die den benutzten Quellen wörtlich und inhaltlich entnommenen Stellen als solche kenntlich gemacht habe. Das in TUGRAZonline hochgeladene Textdokument ist mit der vorliegenden Diplomarbeit identisch.

*I declare that I have authored this thesis independently, that I have not used other than the declared sources/resources, and that I have explicitly indicated all material which has been quoted either literally or by content from the sources used. The text document uploaded to TUGRAZonline is identical to the present diploma thesis.*

---

Datum/Date

---

Unterschrift/Signature

## **Danksagung**

Ich danke meinem Betreuer Univ.-Prof. Dr. Otto Röschel für die Zeit, die er sich für mich genommen hat und für die hervorragende Betreuung.

Weiters danke ich meiner Familie für die jahrelange Geduld und für den Rückhalt, den sie mir in all den Jahren gegeben hat.

# Kurzfassung

Ein Arbelos, oder auch Schustermesser, ist eine geometrische Figur, die von drei sich paarweise berührenden Halbkreisen gebildet wird. Sind ihre Mittelpunkte kollinear, so spricht man von einem kollinearen Arbelos, sonst von einem verallgemeinerten Arbelos.

H. OKUMURA zeigt in seiner Arbeit „Archimedean Circles of the Collinear Arbelos and the Skewed Arbelos“ die Kongruenz der Archimedischen Zwillinge eines Kollinearen Arbelos. Der Abschnitt „Zyklographie“ gibt eine Einführung in die zyklographische Abbildungsmethode und deren wichtigsten Eigenschaften. Im zweiten Abschnitt wird diese Methode beim Beweis der Kongruenz der archimedischen Zwillinge, also jener Kreise mit gleichen Radien, die einem Arbelos eingeschrieben werden können, verwendet. Dieser Abschnitt enthält noch weitere Beweise dieses Sachverhaltes, die jedoch synthetisch geführt werden. Ein Abschnitt über verallgemeinerte Arbeloi zeigt, dass es auch in diesem Fall kongruente Kreise gibt, und es hierfür wieder verschiedenste Möglichkeiten gibt, die Kongruenz nachzuweisen.

In der Diplomarbeit werden weitere Kreiskonfigurationen in Arbeloi untersucht.

# Abstract

An ‘arbelos’, also called ‘shoemaker’s knife’, is a geometric figure confined by three mutually tangent semicircles. If the centers of the circles in an arbelos are collinear we call the arbelos ‘collinear’, otherwise ‘skewed’.

In his paper ‘Archimedean Circles of the Collinear Arbelos and the Skewed Arbelos’ H. OKUMURA showed that an arbelos conceals remarkable pairs of congruent circles. In the case of a collinear arbelos they are often referred to as ‘Archimedean twins’.

The first section of this diploma thesis presents the cyclographic mapping and some interesting statements on cycles. This mapping is a valuable tool in the investigation of circles in the Euclidean plane. Section 2 and 3 deal with the collinear and the skewed arbelos. We offer a number of different proofs to some of OKUMURA’s statements using the cyclographic mapping and other geometric methods. Some of them turn out to be particularly succinct.

Further results on circle configurations related to arbeloi are also studied in this thesis.

# Inhaltsverzeichnis

<b>1</b>	<b>Zyklographie</b>	<b>2</b>
1.1	Definitionen . . . . .	2
1.2	Berührende Zykel . . . . .	4
1.3	Ähnlichkeitszentrum von Zykeln . . . . .	5
1.4	Potenz und Potenzgerade . . . . .	7
1.4.1	Potenz von Kreisen . . . . .	7
1.4.2	Potenzgerade von Zykeln . . . . .	12
1.5	Tangentialentfernung von Zykeln . . . . .	14
1.5.1	Berechnung der Tangentialentfernung . . . . .	14
<b>2</b>	<b>Kollinearer Arbelos</b>	<b>17</b>
2.1	Definition . . . . .	17
2.2	Die archimedischen Zwillinge . . . . .	20
<b>3</b>	<b>Verallgemeinerter Arbelos</b>	<b>27</b>
3.1	Definition . . . . .	27
3.2	Kongruente Kreise im verallgemeinerten Arbelos . . . . .	28
<b>4</b>	<b>Einige elementargeometrische Beweise für Tripel berührender Kreise</b>	<b>44</b>
	<b>Literaturverzeichnis</b>	<b>55</b>

# Einleitung

H. OKUMURA hat sich in den letzten Jahren mit sogenannten Arbeloi und deren archimedischen Kreisen beschäftigt. In dieser Diplomarbeit werden die von H. OKUMURA meist durch Berechnungen gewonnen Resultate mit Methoden der Zyklographie hergeleitet.

In Abschnitt 1 werden die Begriffe Zykel, Speer und die Abbildungsmethode der Zyklographie erklärt und auf Eigenschaften von Zykeln eingegangen. Ich beziehe mich in diesem Abschnitt auf [4], [11], [12] für die Zyklographie, sowie auf [13], [15] und [16] für die Eigenschaften von Zykeln.

In Abschnitt 2 werden der kollineare Arbelos und seine archimedischen Zwillinge definiert. H. OKUMURA hat in [6] elementargeometrisch bewiesen, dass die Zwillinge gleichen Radius besitzen. In dieser Arbeit werden drei weitere Beweismöglichkeiten gezeigt. Der erste Beweis wird mit Hilfe der Zyklographie geführt, der zweite und dritte folgen synthetisch. Der dritte Beweis bezieht sich dabei auf [2].

In Abschnitt 3 werden verallgemeinerte Arbeloi vorgestellt. Auch hier gibt es kongruente Kreise, die dem verallgemeinerten Arbelos eingeschrieben werden können, wie H. OKUMURA in [6] gezeigt hat. Zu seinem elementargeometrischen Beweis der Kongruenz der eingeschriebenen Kreise werden in dieser Diplomarbeit ein zyklographischer und ein weiterer synthetischer Beweis hinzugefügt.

Abschnitt 4 enthält einen umfangreichen Beweis einer Aussage, die in Abschnitt 3 für eine Konstruktion von berührenden, kongruenten Kreisen benötigt wird.

Weitere Verallgemeinerungen dieser Fragestellungen finden sich zum Beispiel in [5], [8] und [9].

Alle Bilder, die in dieser Arbeit enthalten sind, wurden mit GeoGebra 4.4.36.0 erstellt.

# 1 Zyklographie

## 1.1 Definitionen

Die folgenden Begriffe und Definitionen finden sich in etwa in [4].

Gegeben sei der projektiv abgeschlossene Anschauungsraum  $\overline{\mathbb{E}}_3$  und ein kartesisches Normalkoordinatensystem  $\{O; x, y, z\}$  mit einer Einheit  $e$ . Sei die Ebene  $\pi$  ( $z = 0$ ) eine horizontale Ebene im  $\overline{\mathbb{E}}_3$ , die den Raum in einen positiven und einen negativen Halbraum trennt. Der positive Halbraum liege oberhalb von  $\pi$ , der negative unterhalb. Raumpunkte mit positiver  $z$ -Koordinate liegen im positiven Halbraum, jene mit negativer  $z$ -Koordinate im negativen Halbraum. Ist die  $z$ -Koordinate gleich null, so liegen sie in der Ebene  $\pi$ .

Wir betrachten Kreise, die in der festen Ebene  $\pi$  liegen. Jeder Kreis soll mit einem Durchlaufsinne versehen sein, der entweder positiv oder negativ sein kann. Ein Kreis mit positiver Orientierung sei gegen den Uhrzeigersinn, ein Kreis mit negativer Orientierung im Uhrzeigersinn durchlaufen (siehe Abb. 1.1).

**Definition 1.** *Ein orientierter Kreis wird Zykel genannt.*

Um die beiden Zyklen voneinander zu unterscheiden, werden die Radien mit positiven oder negativen Vorzeichen gekennzeichnet.

Ebenso kann eine Gerade aus  $\pi$  mit Orientierung versehen werden. Die Gerade teilt  $\pi$  in eine „positive“ und eine „negative“ Halbebene. Die positive Seite der orientierten Gerade liege auf der linken Seite, wenn man in Richtung der Orientierung blickt. Die negative Seite liege dementsprechend auf der rechten Seite.

**Definition 2.** *Eine orientierte Gerade wird als Speer bezeichnet.*

Ein Speer kann auch als Grenzfall eines Zyklus gesehen werden, dessen Mittelpunkt ein Fernpunkt ist und dessen Radius unendlich beträgt. Ein Zykel mit Radius gleich null trägt den Namen *Nullzykel*. Eine Tangente an einen Zykel erhält vom Zykel die Orientierung und kann daher als Speer aufgefasst werden. Im Berührungspunkt haben Speer und Zykel dieselbe Orientierung.



## 1 Zyklographie

**Definition 3.** Zwei Zyklen berühren sich, wenn sie im Berührungspunkt einen gemeinsamen Speer besitzen. Liegt im Berührungspunkt entgegengesetzte Orientierung der Zyklen vor, so berühren sich die Zyklen „uneigentlich“.

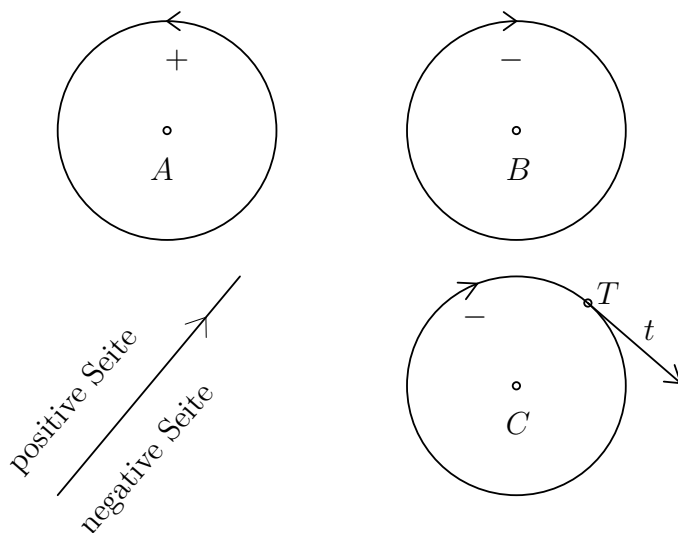


Abbildung 1.1: Zyklen, Speer und Zyklen mit Tangente

**Definition 4.** Die Zyklographie ist eine Abbildung, die jedem Raumpunkt  $P(x/y/z) \in \mathbb{E}_3$  einen Zyklen eindeutig zuordnet. Der Mittelpunkt  $M$  des Zyklen ist dabei der Grundriss  $P'(x/y/0)$  und der Radius  $r$  entspricht der  $z$ -Koordinate des Raumpunktes. Die Orientierung ergibt sich aus dem Vorzeichen der  $z$ -Koordinate. Der Zyklen ist mathematisch positiv orientiert, wenn  $z > 0$  beziehungsweise negativ orientiert, wenn  $z < 0$  gilt. Ist  $z = 0$ , so ist der Zyklen ein Nullzyklen und fällt mit dem Punkt  $P$  zusammen. Sei  $Z$  die Menge aller Zyklen in  $\pi$ . Dann ist die Abbildung definiert als

$$\varphi := \begin{cases} \mathbb{E}_3 \rightarrow Z \\ P(x/y/z) \mapsto \varphi(P) = k[M = P', r = \pm z] \end{cases}$$

Diese Abbildung ist sogar bijektiv, da jedem Zyklen eindeutig ein Raumpunkt zugeordnet werden kann.

Durch jeden Raumpunkt  $P$  und sein zyklographisches Bild kann ein Drehkegel mit Spitze in  $P$  und dem Basiskreis  $\varphi(P)$  erzeugt werden. Da seine Höhe mit dem Radius übereinstimmt, schließen seine Erzeugenden mit der Ebene  $\pi$  einen Winkel von  $45^\circ$  ein. In [4] werden diese Drehkegel „ $45^\circ$ -Kegel durch  $\varphi(P)$ “ genannt. Aufgrund dieser besonderen

## 1 Zyklographie

Eigenschaft haben alle Drehkegel dieselbe Kurve zweiter Ordnung  $k_u$  in der Fernebene  $\Omega$  des  $\mathbb{E}_3$  gemeinsam. Wir werden den zu  $\varphi(P)$  gehörenden Drehkegel mit  $K_{\varphi(P)}$  bezeichnen.

Diese  $45^\circ$ -Kegel können auch konstruiert werden, indem man durch jeden Punkt des zyklographischen Bildes von  $P$  eine Gerade legt, die gegenüber  $\pi$  unter  $45^\circ$  geneigt ist, wobei alle Geraden  $P$  enthalten. Ebenso können durch jeden Punkt eines Speeres in  $\pi$  zwei Geraden gelegt werden, die mit  $\pi$  einen Winkel von  $45^\circ$  einschließen. Man erhält somit zwei um  $45^\circ$  gegen  $\pi$  geneigte Ebenen, die den Speer als Schnittgerade besitzen. Weil die Ebenen und die Erzeugenden der zuvor beschriebenen Drehkegel um denselben Winkel gegen  $\pi$  geneigt sind, berühren die Ebenen die Fernkurve  $k_u$ .

Die Speere liegen in  $\pi$  und  $\pi$  trennt den Raum in einen positiven und negativen Halbraum, weshalb auch die beiden Ebenen eines Speeres von  $\pi$  in eine positive – jener Teil im positiven Halbraum – und in eine negative Halbebene – jener Teil im negativen Halbraum – geteilt werden. Um einem Speer eindeutig eine der beiden Ebenen zuzuordnen, vereinbart man, dass jene Ebene zu einem Speer gehört, „deren positive Halbebene im Normalriß auf  $\pi$  (Grundriß) die positive Seite des Speers ... überdeckt“<sup>1</sup>. Kurz gesprochen: Zu einem Speer gehört jene Ebene, deren „Bergseite“ links des Speers liegt, wenn man Richtung der Orientierung blickt.

## 1.2 Berührende Zykkel

Zunächst suchen wir nach einem Zykel  $\gamma$ , der einen gegebenen Zykel  $\alpha$  berührt. Wie oben bereits festgehalten, müssen die Zykkel im Berührungspunkt  $T$  dieselbe Orientierung und einen gemeinsamen Tangentialspeer  $t$  in  $T$  besitzen.

Für die  $45^\circ$ -Kegel mit Scheiteln in den zyklographischen Originalen  $\varphi^{-1}(\alpha)$  und  $\varphi^{-1}(\gamma)$  von  $\alpha$  und  $\gamma$  bedeutet dies, dass sie sich entlang einer Erzeugenden berühren und dort eine gemeinsame Tangentialebene haben, die  $\pi$  im Speer  $t$  schneidet. Daher liegt auch der Kegelscheitel des zugehörigen Drehkegels zum gesuchten Zykel  $\gamma$  auf einer Erzeugenden des Drehkegels, der zu  $\alpha$  gehört.

*Resultat:* Berühren sich zwei Zykkel, so ist das zyklographische Original des einen Zykels auf dem  $45^\circ$ -Kegel des anderen Zykels enthalten und umgekehrt.

Gegeben seien zwei Zykkel  $\alpha$  und  $\beta$ . Gesucht ist ein Zykel  $\gamma$ , der  $\alpha$  und  $\beta$  berührt. Wie zuvor betrachten wir die  $45^\circ$ -Kegel  $K_\alpha$  und  $K_\beta$  durch die gegebenen Zykkel. Das zyklo-

---

<sup>1</sup>Vgl. Müller, E.: S.13

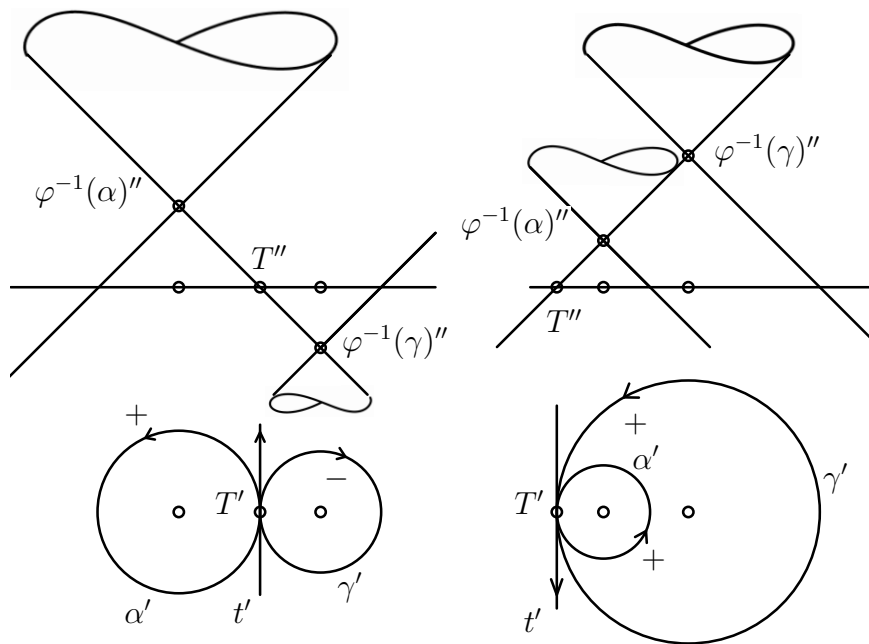


Abbildung 1.2: Beispiele für berührende Zyklen in Grund- und Aufriss

graphische Original von  $\gamma$  muss aufgrund des obigen Resultates sowohl auf  $K_\alpha$  als auch auf  $K_\beta$  liegen. Die möglichen Orte der zyklographischen Originale von  $\gamma$  sind daher auf dem Schnitt der Drehkegel  $K_\alpha$  und  $K_\beta$ . Die Drehkegel haben bereits eine Schnittkurve zweiter Ordnung  $k_u$  in der Fernebene gemeinsam, weshalb die Schnittkurve zerfällt. Die restliche Schnittkurve  $c$  muss ebenfalls eine Kurve zweiter Ordnung sein, also eine Ellipse, Hyperbel, Parabel oder eine Erzeugende, längs der sich beide Drehkegel berühren. In Abb.1.3 sind diese Schnittkurven rot dargestellt. Die Brennpunkte der Kegelschnitte fallen im Grundriss mit den Kegelscheiteln von  $K_\alpha$  und  $K_\beta$  zusammen <sup>2</sup>.  $\varphi^{-1}(\gamma)$  kann beliebig auf diesem Restschnitt gewählt werden. Der Radius und die Orientierung des zugehörigen Zyklus  $\gamma$  ergeben sich daraus direkt (siehe Abb. 1.3).

### 1.3 Ähnlichkeitszentrum von Zykeln

Es sind nun zwei Zykeln  $\alpha$  und  $\beta$  mit Mittelpunkten  $M_\alpha$  beziehungsweise  $M_\beta$  in der Ebene  $\pi$  gegeben. Die  $45^\circ$ -Kegel, die durch  $\alpha$  und  $\beta$  bestimmt sind, sollen mit  $K_\alpha$  und  $K_\beta$  bezeichnet werden, ihre Scheitel mit  $S_\alpha$  und  $S_\beta$ .

Wir betrachten die Geraden  $g' = [M_\alpha, M_\beta]$  und  $g = [S_\alpha, S_\beta]$  (siehe Abb. 1.8). Sie

<sup>2</sup>Vgl. Pillwein, G., et. al.: S. 41–43 oder  
Vgl. Brauner, H.: S. 171, 172

# 1 Zyklographie

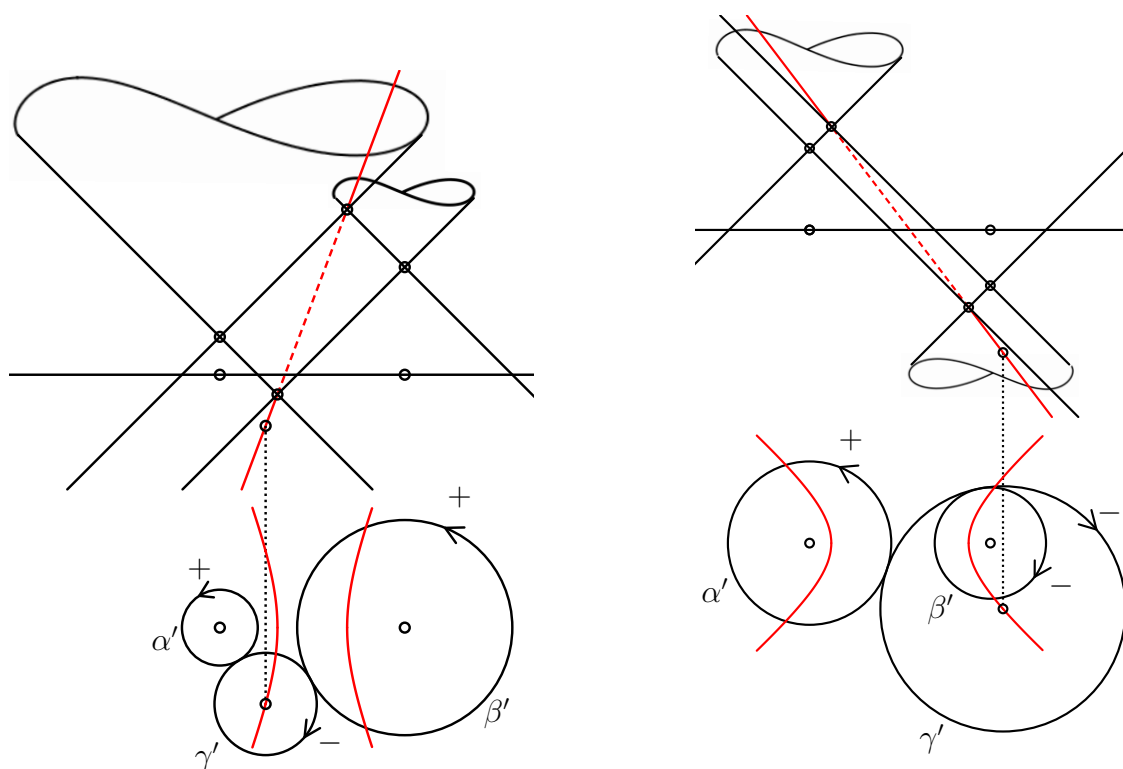


Abbildung 1.3: Beispiele für einen Zykel, der zwei gegebene Zyklen berührt

spannen eine Ebene  $\sigma$  auf, die normal zu  $\pi$  und eine Symmetrieebene der Drehkegel ist. Im Allgemeinen schneidet die Gerade  $g$  die Gerade  $g'$  und somit auch  $\pi$  in einem Punkt  $Z$ . Die Dreiecke  $ZM_\alpha S_\alpha$  und  $ZM_\beta S_\beta$  in  $\sigma$  sind zueinander ähnlich, da die Geraden durch  $[M_\alpha, S_\alpha]$  und  $[M_\beta, S_\beta]$  parallel sind. Daher ist der Strahlensatz anwendbar, und es ergibt sich das Verhältnis  $\overline{ZM_\alpha} : \overline{M_\alpha S_\alpha} = \overline{ZM_\beta} : \overline{M_\beta S_\beta}$ .

Die Dreiecke  $ZM_\alpha S_\alpha$  und  $ZM_\beta S_\beta$  werden in die Ebene  $\pi$  geklappt (siehe Abb. 1.8). Da die Höhen der Drehkegel mit den Radien der Zyklen übereinstimmen, inzidieren die in  $\pi$  geklappten Punkte  $S_\alpha$  und  $S_\beta$  mit  $\alpha$  beziehungsweise  $\beta$ . Das obige Verhältnis bleibt erhalten und die Strecken  $\overline{M_\alpha S_\alpha}$  und  $\overline{M_\beta S_\beta}$  sind nach wie vor parallel. Es existiert daher eine Ähnlichkeit mit Zentrum  $Z$ , die  $\alpha$  mit seiner Orientierung in  $\beta$  überführt. Der Punkt  $Z$  wird als das Ähnlichkeitszentrum der beiden Zyklen angesprochen. Dieses Resultat halten wir im folgenden Satz fest:

**Satz 1.** *Das Ähnlichkeitszentrum zweier Zyklen ist der Schnittpunkt der Verbindungsgerade durch die zyklographischen Originale mit  $\pi$ .*

**Bemerkung 1.** *Im Sonderfall, dass die beiden Zyklen kongruent sind, ist die Ähnlichkeit eine Schiebung, das Zentrum  $Z$  ein Fernpunkt von  $\pi$ .*

## 1.4 Potenz und Potenzgerade

### 1.4.1 Potenz von Kreisen

Gegeben sei ein Punkt  $P$  und ein Kreis  $k$  mit Mittelpunkt  $M$  und Radius  $r$ . Die Strecke  $\overline{MP}$  soll mit  $d$  bezeichnet werden.

**Definition 5.** Die Potenz des Punktes  $P$  bezüglich des Kreises  $k$  wird definiert als

$$p(P, k) = d^2 - r^2 \quad (1.1)$$

Eine Berechnung der Potenz kann über die Kreisgleichung geführt werden. Sei  $k$  ein Kreis mit der Gleichung  $(x - x_m)^2 + (y - y_m)^2 = r^2$ , wobei  $(x_m/y_m)$  die Koordinaten seines Mittelpunktes  $M$  und  $r$  sein Radius sind. Der Punkt  $P$  besitze die Koordinaten  $(x^*/y^*)$ .

Bei genauerer Betrachtung sieht man, dass  $(x^* - x_m)^2 + (y^* - y_m)^2 = d^2$  ist. Damit gilt:

**Lemma 1.** Die Potenz des Punktes  $P(x^*/y^*)$  bezüglich des Kreises  $k$  mit obiger Gleichung besitzt den Wert

$$p(P, k) = (x^* - x_m)^2 + (y^* - y_m)^2 - r^2 \quad (1.2)$$

#### Bemerkungen zur Berechnung der Potenz:

Es können 3 Fälle unterschieden werden:

1.  $d^2 - r^2 > 0$

$P$  liegt außerhalb des Kreises  $k$ , wenn seine Potenz bezüglich  $k$  positiv ist. Die Schnittpunkte der Sekante  $[M, P]$  mit dem Kreis werden mit  $A$  bzw.  $B$  bezeichnet, der Berührungspunkt der Tangente aus  $P$  an  $k$  mit  $T$  (siehe Abb. 1.4). Aufgrund des Sekanten-Tangenten-Satzes gilt:

$$\begin{aligned} \overline{AP} \cdot \overline{BP} &= \overline{PT}^2 \\ \overline{AP} \cdot (\overline{BM} + \overline{MP}) &= \overline{PT}^2 \\ (d - r)(r + d) &= \overline{PT}^2 \\ d^2 - r^2 &= \overline{PT}^2 \end{aligned}$$

## 1 Zyklographie

Zusätzlich liefert der Satz des Pythagoras:

$$d^2 = r^2 + \overline{PT}^2$$
$$d^2 - r^2 = \overline{PT}^2$$

Daraus folgt, dass die Potenz von  $P$  mit dem Quadrat der Länge der Strecke  $[P, T]$  auf der Tangente aus  $P$  an  $k$  übereinstimmt.

2.  $d^2 - r^2 = 0$

Die Potenz der Punkte  $P$ , die auf dem Kreis  $k$  liegen, ist gleich null.

3.  $d^2 - r^2 < 0$

Das trifft nur auf solche Punkte  $P$  zu, die innerhalb des Kreises  $k$  liegen.

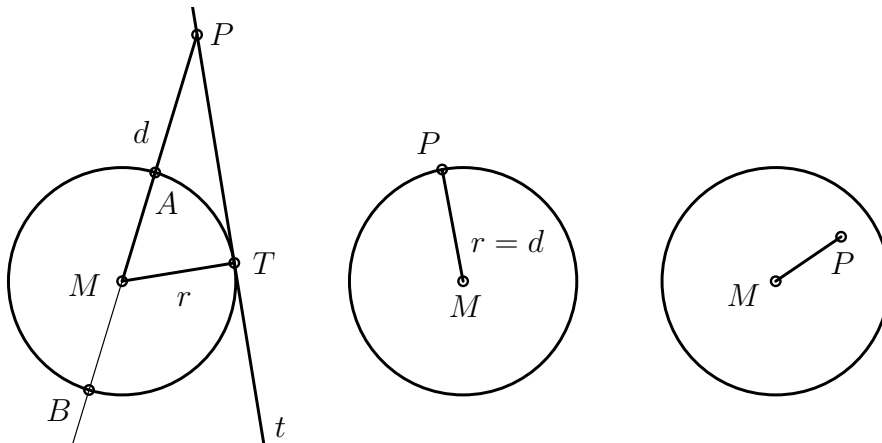


Abbildung 1.4: Potenz eines Punktes  $P$  bezüglich eines Kreises  $k$

## 1 Zyklographie

Gegeben seien die Kreise  $k_i$  durch die Mittelpunkte  $M_i$  und die Radien  $r_i$ , für  $i = 1, 2$ .

In Bezug auf Lemma 1 ist die Bedingung für die Punkte gleicher Potenz bezüglich  $k_1$  und  $k_2$  durch

$$(x^* - x_{m_1})^2 + (y^* - y_{m_1})^2 - r_1^2 = (x^* - x_{m_2})^2 + (y^* - y_{m_2})^2 - r_2^2 \quad (1.3)$$

gegeben, wobei  $(x_{m_i}/y_{m_i})$  die Koordinaten der Mittelpunkte  $M_i$ ,  $r_i$  die Radien der Kreise  $k_i$  sind, für  $i = 1, 2$ , und  $(x^*/y^*)$  die Koordinaten des Punktes  $P$ .

Die Bedingung (1.3) liefert wichtige Ergebnisse:

Durch Umformung erhält man:

$$x^*(x_{m_2} - x_{m_1}) + y^*(y_{m_2} - y_{m_1}) = \frac{1}{2}(x_{m_2}^2 - x_{m_1}^2 + y_{m_2}^2 - y_{m_1}^2 + r_1^2 - r_2^2) \quad (1.4)$$

Das ist eine lineare Gleichung in  $x^*, y^*$ . Daher ist der Ort von Punkten gleicher Potenz bezüglich  $k_1$  und  $k_2$  eine Gerade. Betrachtet man den Normalvektor

$$\begin{pmatrix} x_{m_2} - x_{m_1} \\ y_{m_2} - y_{m_1} \end{pmatrix}$$

dieser Geraden so erkennt man, dass dieser der Richtungsvektor der Verbindungsgeraden der beiden Mittelpunkte der gegebenen Kreise ist. Folglich ist diese Gerade normal zur Verbindungsgerade der Mittelpunkte, der sogenannten *Zentrale*. Wir definieren nun:

**Definition 6.** Die Potenzgerade/Chordale zweier Kreise  $k_1$  und  $k_2$  ist die Menge aller Punkte  $P$ , die bezüglich der beiden Kreise die gleiche Potenz besitzen. Die Bedingung für die Potenzgerade lautet:

$$d_1^2 - r_1^2 = d_2^2 - r_2^2$$

mit  $\overline{M_i P} = d_i$  für  $i = 1, 2$ . Ihre Gleichung wird durch (1.4) erfasst.

Die Potenzgerade zweier Kreise, die sich entweder schneiden oder berühren, verläuft durch die Schnittpunkte beziehungsweise den Berührungspunkt, da in diesen Punkten die Potenz bezüglich beider Kreise gleich null ist.

## 1 Zyklographie

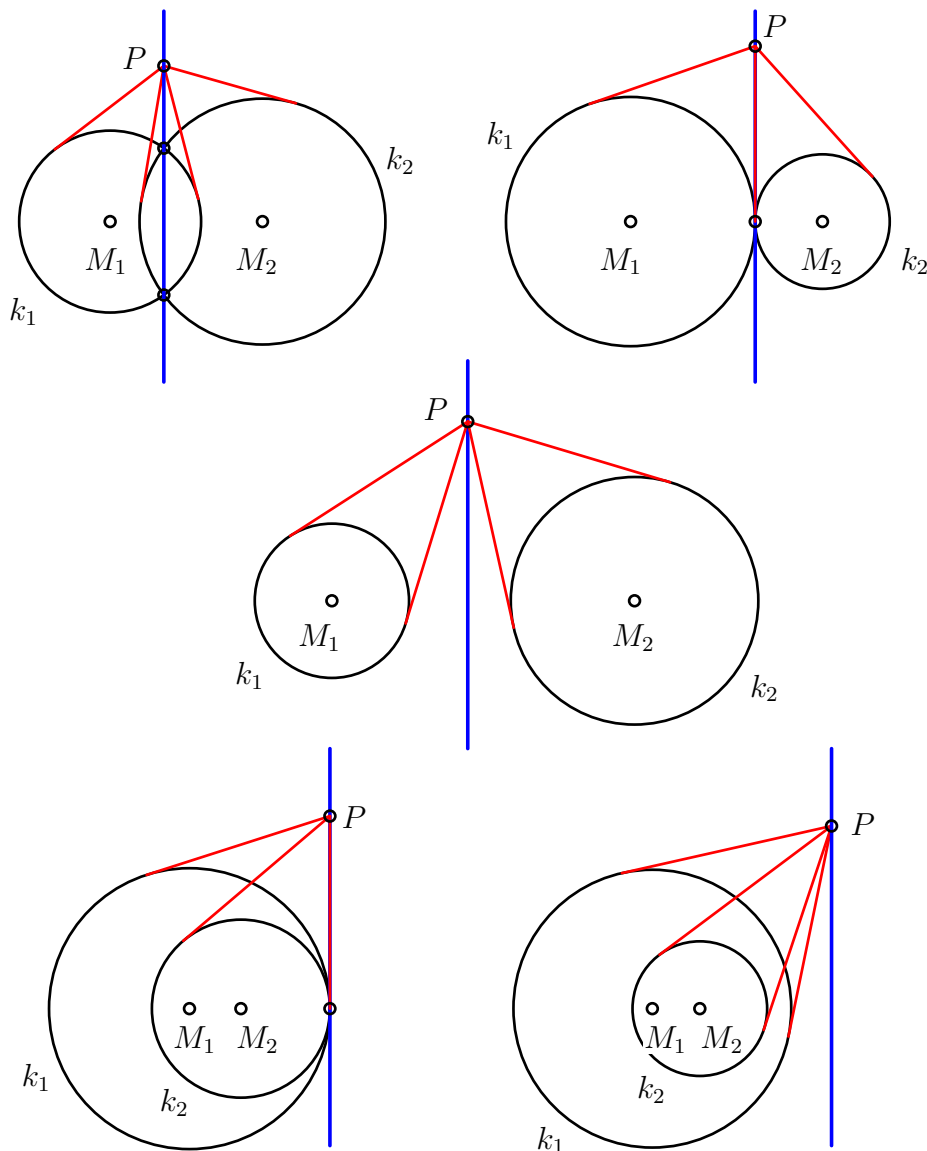


Abbildung 1.5: Potenzgerade zweier Kreise

Quelle: in Anlehnung an: Wikipedia (2013): Potenzgerade, <http://de.wikipedia.org/wiki/Potenzgerade>, 12. März 2014

Berühren oder schneiden sich die beiden Kreise nicht, so kann man mit folgendem Satz die Konstruktion der Potenzgerade einfach durchführen:

**Satz 2.** *Gegeben seien drei Kreise  $k_1, k_2, k_3$ , deren Mittelpunkte nicht kollinear sind. Dann schneiden sich die Potenzgeraden zu jeweils zwei Kreisen in einem Punkt, dem Potenzzentrum  $\mathcal{P}$  der drei Kreise.*



## 1 Zyklographie

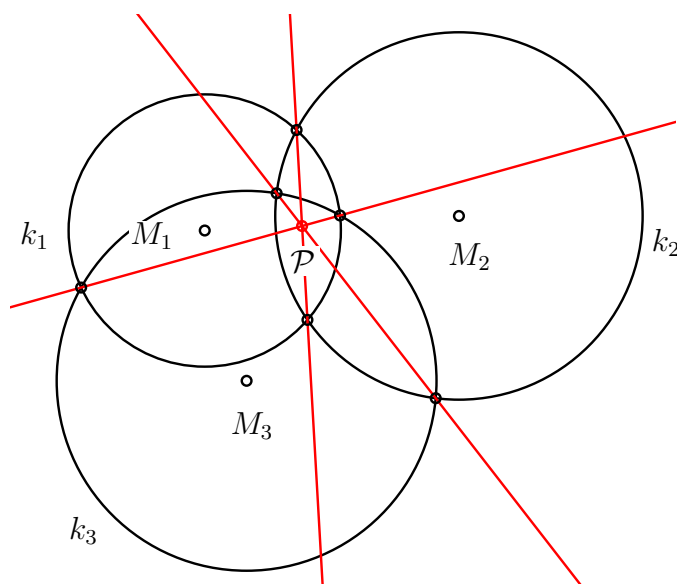


Abbildung 1.6: Potenzzentrum dreier Kreise

*Beweis.* Betrachtet man die Potenzgerade der Kreise  $k_1$  und  $k_2$ , so gilt für Punkte  $Q_1$  auf ihrer Potenzgeraden:

$$p(Q_1, k_1) = p(Q_1, k_2)$$

Genauso gilt für die Potenz der Punkte  $Q_2$  bezüglich der Kreise  $k_1$  und  $k_3$ :

$$p(Q_2, k_1) = p(Q_2, k_3)$$

Im Schnittpunkt der beiden Potenzgeraden gilt für den Punkt  $\mathcal{P}$ :

$$p(\mathcal{P}, k_1) = p(\mathcal{P}, k_2) = p(\mathcal{P}, k_3)$$

Daraus kann abgeleitet werden, dass die Potenzgerade der Kreise  $k_2$  und  $k_3$  ebenfalls diesen Schnittpunkt enthält, da er die Bedingung der Potenzgerade erfüllt.  $\square$

Gesucht ist nun die Potenzgerade  $\mathfrak{p}$  zu zwei sich weder schneidenden noch berührenden Kreisen.

Dazu kann man sich einen Hilfskreis einzeichnen, der die beiden gegebenen Kreise  $k_1$  und  $k_2$  schneidet. Das Potenzzentrum der nunmehr vorliegenden drei Kreise ist der Schnittpunkt der beiden leicht zu konstruierenden Potenzgeraden. Die gesuchte Potenzgerade  $\mathfrak{p}$  verläuft wegen Satz 2 senkrecht zur Verbindungsgerade der Mittelpunkte von  $k_1$  und  $k_2$  und durch das bereits konstruierte Potenzzentrum.

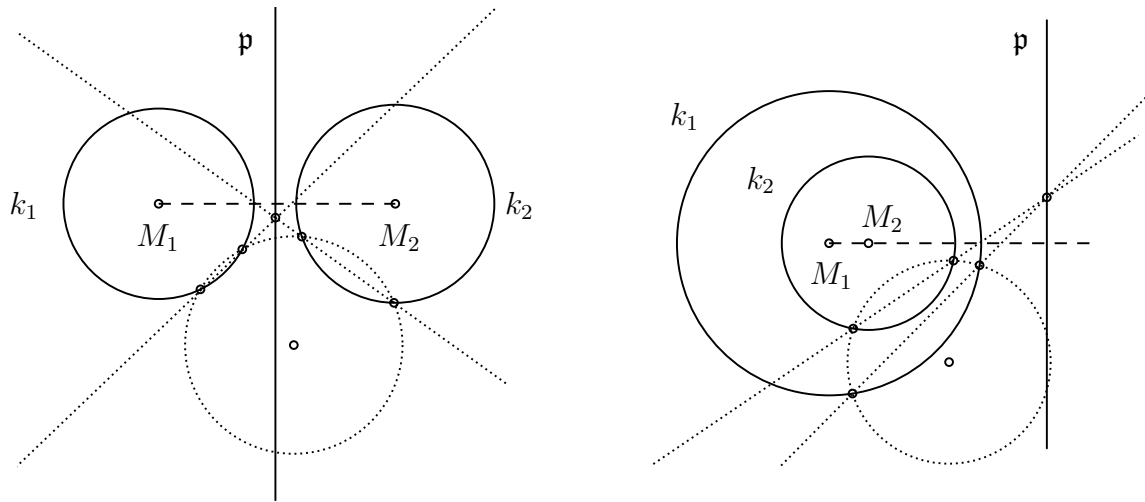


Abbildung 1.7: Konstruktion der Potenzgerade zweier Kreise mit einem Hilfskreis

### 1.4.2 Potenzgerade von Zykeln

Gegeben seien zwei Zykeln  $\alpha$  und  $\beta$ . Als Potenzgerade der Zykeln  $\alpha$  und  $\beta$  wollen wir die Potenzgerade ihrer Trägerkreise definieren. Die Ebene  $\sigma$ , die die Mittelpunkte der Zykeln  $M_\alpha, M_\beta$  und die Scheitel  $S_\alpha, S_\beta$  der durch  $\alpha$  und  $\beta$  bestimmten Drehkegel  $K_\alpha, K_\beta$  enthält, ist normal zu  $\pi$  und eine Symmetrieebene der Drehkegel. Die Lage der Zykeln kann immer so gewählt werden, dass jene Ebene  $\varepsilon$ , die die Schnittkurve  $c$  enthält, normal zur Aufrissebene liegt, wobei  $\sigma$  als Aufrissebene gewählt werden kann. Die eigentlichen Schnittpunkte der beiden Erzeugendenpaare in  $\sigma$  sollen mit  $A$  und  $B$  bezeichnet werden. Diese liegen in  $\varepsilon$  und sind die Scheitel der Kurve zweiter Ordnung  $c$ . Somit ist auch die Ebene  $\varepsilon$  im Aufriss eindeutig bestimmt. Die Spur  $e$  von  $\varepsilon$  in der Ebene  $\pi$  erscheint im Aufriss projizierend. Die Spur ist daher normal zur Zentrale der beiden Zykeln, und die Schnittpunkte von  $\alpha$  und  $\beta$  müssen auf ihr liegen, weil  $\varepsilon$  alle Punkte enthält, die auf beiden Drehkegeln liegen und in  $\pi$  die Schnittpunkte der beiden Zykeln gleichzeitig jene Punkte mit gleicher Potenz bezüglich  $\alpha$  und  $\beta$  sind.  $e$  erfüllt somit alle Bedingungen einer Potenzgerade der Trägerkreise von  $\alpha$  und  $\beta$  und ist deshalb die Potenzgerade der beiden gegebenen Zykeln.

# 1 Zyklographie

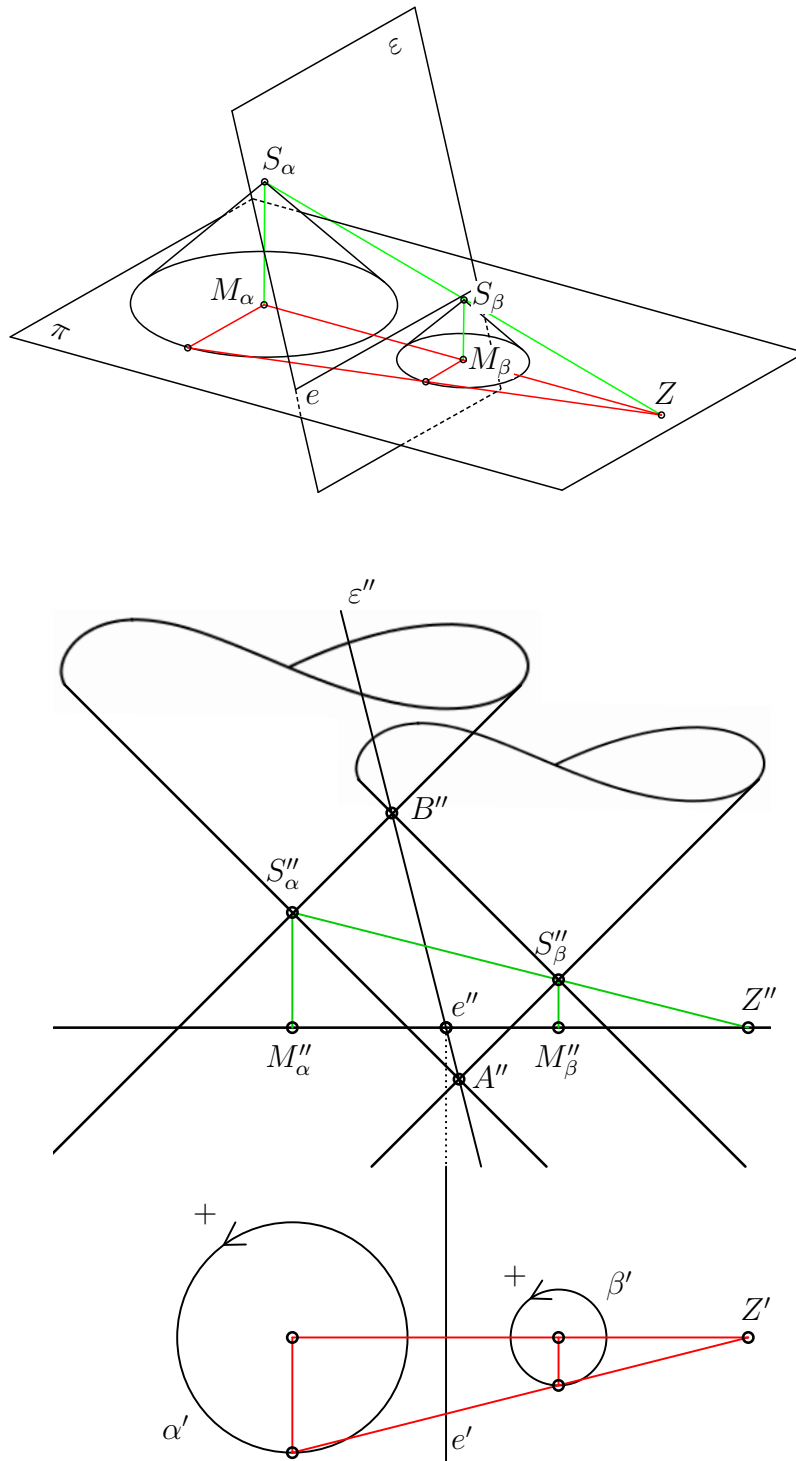


Abbildung 1.8: Potenzgerade und Ähnlichkeitszentrum von Zykeln

## 1.5 Tangentialentfernung von Zykeln

Gegeben sind zwei Zykeln  $\alpha$  und  $\beta$ . Im Allgemeinen besitzen zwei Kreise vier gemeinsame Tangenten, jedoch zwei Zykeln nur zwei gemeinsame Tangentialspeere (siehe Abb. 1.9). Sind die beiden Zykeln gleich orientiert, so sind die gemeinsamen Tangentialspeere durch die „äußeren“ Tangenten der Kreise mit geeigneter Orientierung definiert, sind sie gegenseitig orientiert, dann durch ihre „inneren“ Tangenten.

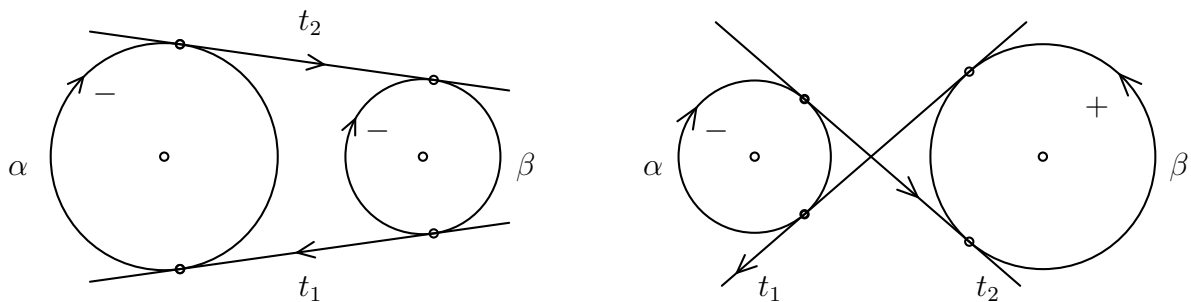


Abbildung 1.9: gemeinsame Tangentialspeere zweier Zykeln

Der Abstand der beiden Berührungspunkte auf jedem der im Allgemeinen zwei gemeinsamen Tangentialspeere von zwei Zykeln ist gleich. Wie definieren daher:

**Definition 7.** Die Tangentialentfernung  $t(\alpha, \beta)$  zweier Zykeln  $\alpha$  und  $\beta$  ist gleich dem auf dem gemeinsamen Tangentialspeer gemessenen Abstand der Berührungspunkte auf  $\alpha$  und  $\beta$ .

### 1.5.1 Berechnung der Tangentialentfernung

Gegeben sind zwei Zykeln  $\alpha$  und  $\beta$  mit Mittelpunkten  $M_\alpha, M_\beta$  und die zyklographischen Originale  $S_\alpha$  und  $S_\beta$  der Zykeln. Die Koordinaten der Punkte und die Werte der Radien lauten:

$$\begin{aligned} M_\alpha(x_\alpha/y_\alpha/0) \quad \text{und} \quad M_\beta(x_\beta/y_\beta/0) \\ S_\alpha(x_\alpha/y_\alpha/z_\alpha) \quad \text{und} \quad S_\beta(x_\beta/y_\beta/z_\beta) \\ r_\alpha = z_\alpha \quad \text{und} \quad r_\beta = z_\beta \end{aligned}$$

In Abb. 1.10 ist eine der möglichen Situationen dargestellt. Der Radius  $r$  des zu  $\alpha$  konzentrischen Kreises beträgt  $r_\alpha - r_\beta$ .

Der Satz von Pythagoras liefert folgende Berechnung für den Tangentialabstand zweier Zykeln, wobei hier für  $t(\alpha, \beta)$  kurz  $t$  gesetzt wird:

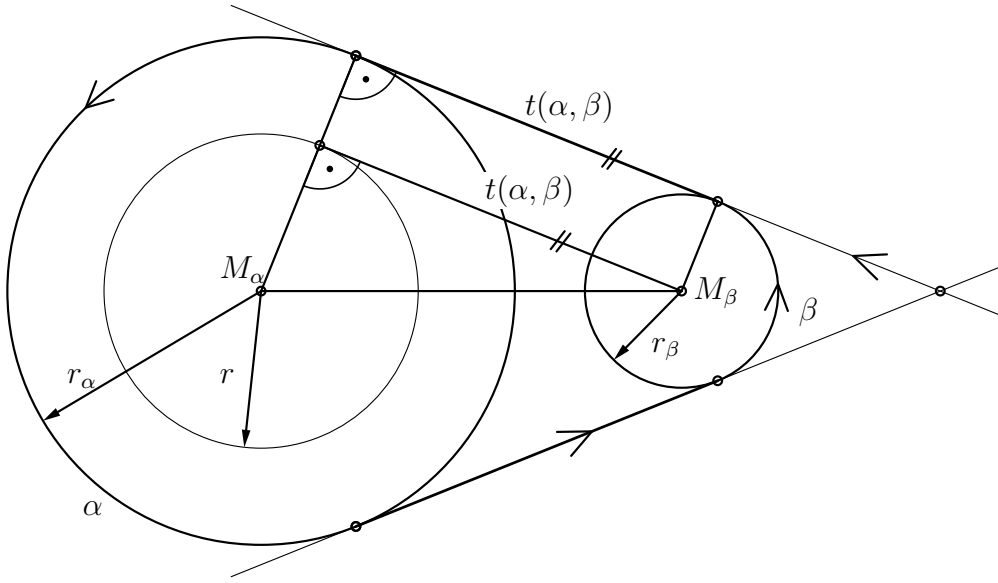


Abbildung 1.10: Tangentialentfernung zweier Zyklen

$$\begin{aligned}
 t^2 + r^2 &= (\overline{M_\alpha M_\beta})^2 \\
 t^2 + (r_\alpha - r_\beta)^2 &= (x_\beta - x_\alpha)^2 + (y_\beta - y_\alpha)^2 \\
 t^2 + (z_\alpha - z_\beta)^2 &= (x_\beta - x_\alpha)^2 + (y_\beta - y_\alpha)^2 \\
 t^2 &= (x_\beta - x_\alpha)^2 + (y_\beta - y_\alpha)^2 - (z_\beta - z_\alpha)^2
 \end{aligned} \tag{1.5}$$

Da dieser Abstand  $t(\alpha, \beta)$  bis auf ein Vorzeichen dem euklidischen Abstand der zyklographischen Originale  $S_\alpha, S_\beta$  gleicht, wird die Tangentialentfernung auch mit dem pseudo-euklidischen Abstand der zyklographischen Originale gleichgesetzt.

**Definition 8.** Die Menge aller Zyklen, die von einem gegebenen Zykel  $\alpha$ , eine feste Tangentialentfernung  $R$  haben, heißt *Zykelkugel*.  $\alpha$  wird als *Mittenzykel* und  $R$  als *Radius der Zykelkugel* bezeichnet.

Gegeben sei ein Zykel  $\alpha$  mit zyklographischem Original in  $S_\alpha(x_\alpha/y_\alpha/z_\alpha)$  und  $R^2 \in \mathbb{R}$ . Wir suchen das zyklographische Original der Zykelkugel mit Mittenzykel  $\alpha$  und Radius  $R$ . Die Zykelkugel muss die Gleichung

$$R^2 = (x - x_\alpha)^2 + (y - y_\alpha)^2 - (z - z_\alpha)^2$$

erfüllen.

## 1 Zyklographie

### **Bemerkungen zum zyklographischen Original der Zykelkugel:**

3 Fälle können unterschieden werden:

1.  $R^2 > 0$

Das zyklographische Original der Zykelkugel ist im euklidischen Sinn ein einschaliges Drehhyperboloid mit Mitte in  $S_\alpha$ .

2.  $R^2 = 0$

Das zyklographische Original der Zykelkugel ist im euklidischen Sinn ein Drehkegel, dessen Erzeugenden mit  $\pi$  einen Winkel von  $45^\circ$  einschließen.

3.  $R^2 < 0$

Das zyklographische Original der Zykelkugel ist im euklidischen Sinn ein zweisechales Drehhyperboloid mit Mitte in  $S_\alpha$ .

In allen Fällen ist die Drehachse normal zur Ebene  $\pi$  und verläuft durch  $S_\alpha$ . In den Hyperboloidfällen sind die Asymptotendrehkegel  $45^\circ$ -Drehkegel durch  $S_\alpha$ .

## 2 Kollinearer Arbelos

Die folgenden Bezeichnungen finden sich in [2], [6], [17].

### 2.1 Definition

Gegeben sind in der Ebene  $\pi$  drei Kreise  $\alpha$ ,  $\beta$ ,  $\gamma$  mit paarweise verschiedenen Mittelpunkten  $M_\alpha$ ,  $M_\beta$ ,  $M_\gamma$ , die kollinear liegen. Dabei sollen die beiden Kreise  $\alpha$  und  $\beta$  den Kreis  $\gamma$  in Durchmesserendpunkten berühren.



Abbildung 2.1: Schustermesser

Quelle: Wikipedia (2013),  
<http://de.wikipedia.org/wiki/Arbelos>,  
27. April 2014.

**Definition 9.** Die über der Zentrale gelegene Figur der drei Halbkreise wird „kollinearer Arbelos“ genannt.

**Bemerkung 2.** Der Name Arbelos stammt aus dem Griechischen und bedeutet Schustermesser. Abb. 2.2 zeigt die typischen Kreiskonfigurationen, die als Arbeloi bezeichnet werden. Stets sollen  $\alpha$  und  $\beta$  entweder beide in  $\gamma$  enthalten sein, oder beide sollen  $\gamma$  umfassen.

Wir vereinbaren, dass Kreise mit dem Durchmesser  $\overline{PQ}$  mit  $(PQ)$  bezeichnet werden und dass sie in  $\pi$  liegen.

Von den drei Kreisen  $\alpha = (AP)$ ,  $\beta = (BQ)$  und  $\gamma = (AB)$  mit kollinearen Punkten  $A, B, P, Q$  betrachten wir nur jene Halbkreise, die auf der selben Seite der Gerade  $g$  durch die genannten Punkte liegen. Das Koordinatensystem sei so gewählt, dass der Schnittpunkt der Potenzgerade  $\mathfrak{p}$  von  $\alpha$  und  $\beta$  mit  $g$  in den Koordinatenursprung  $O$  fällt und

## 2 Kollinearer Arbelos

$g$  auf der  $y$ -Achse zu liegen kommt. Die Punkte und die Mittelpunkte  $M_\alpha, M_\beta, M_\gamma$  der Kreise  $\alpha, \beta, \gamma$  haben die Koordinaten:

$$\begin{array}{cccc} A(0/a/0) & B(0/b/0) & P(0/p/0) & Q(0/q/0) \\ \\ M_\alpha(0/m_\alpha/0) & M_\beta(0/m_\beta/0) & M_\gamma(0/m_\gamma/0) & \end{array}$$

wobei gilt:

$$m_\alpha = \frac{a+p}{2} \quad m_\beta = \frac{q+b}{2} \quad m_\gamma = \frac{a+b}{2}$$

**Bemerkung 3.** Die drei Halbkreise bilden einen kollinearen Arbelos, wenn eine der folgenden Bedingungen erfüllt ist:

- (i)  $b < q < p < a$
- (ii)  $b < p = q < a$
- (iii)  $b < p < q < a$
- (iv)  $p < b < a < q$

Im Fall (ii) wird der Arbelos berührender Arbelos genannt.

Für die Radien  $r_\alpha, r_\beta, r_\gamma$  der Kreise  $\alpha, \beta, \gamma$  wird vereinbart:

$$r_\alpha, r_\beta, r_\gamma > 0.$$

Dann ist

$$r_\alpha = \frac{a-p}{2}, \quad r_\beta = \frac{q-b}{2}, \quad r_\gamma = \frac{a-b}{2}.$$

Da  $O$  auf der Potenzgerade  $\mathbf{p}$  von  $\alpha$  und  $\beta$  liegt, gilt für die Potenz von  $O$  bezüglich  $\alpha$  und  $\beta$  nach (1.2):

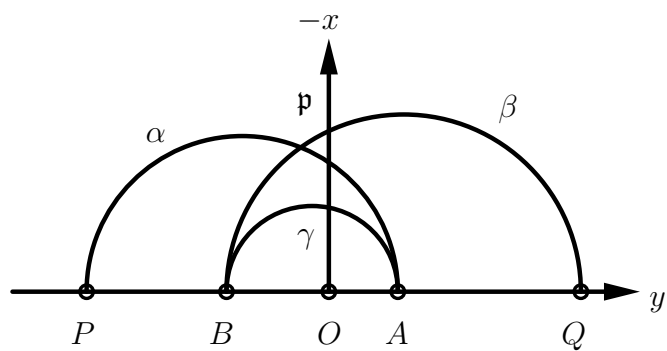
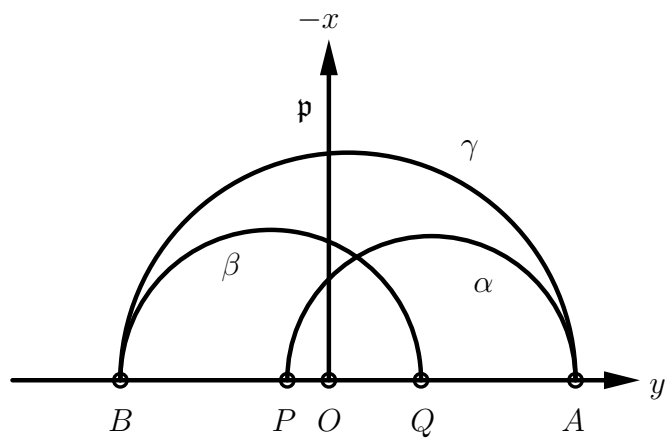
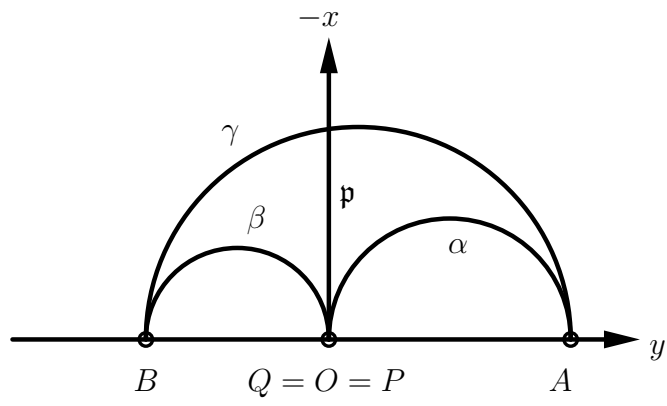
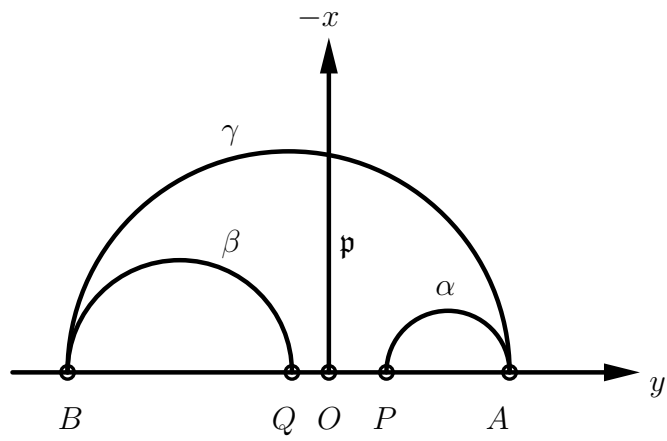
$$\begin{aligned} p(O, \alpha) &= p(O, \beta) \\ m_\alpha^2 - r_\alpha^2 &= m_\beta^2 - r_\beta^2 \\ \frac{(a+p)^2}{4} - \frac{(a-p)^2}{4} &= \frac{(q+b)^2}{4} - \frac{(q-b)^2}{4} \end{aligned}$$

Und daher erhalten wir die Charakterisierung:

$$ap = bq \tag{2.1}$$



2 Kollinearer Arbelos



## 2.2 Die archimedischen Zwillinge

**Satz 3.** *Jene beiden Kreise  $\delta_\alpha$  und  $\delta_\beta$ , die dem kollinearen Arbelos eingeschrieben werden können und einerseits  $\alpha$ ,  $\gamma$  und  $\mathbf{p}$  und andererseits  $\beta$ ,  $\gamma$  und  $\mathbf{p}$  berühren, haben denselben Radius  $r = \left| \frac{bq-ab}{2(a-b)} \right|$ .*

**Definition 10.** *Alle dazu kongruenten Kreise heißen archimedische Kreise. Da  $\delta_\alpha$  und  $\delta_\beta$  den gleichen Radius haben, gehören sie zu den archimedischen Kreisen und werden **archimedische Zwillinge** genannt.*

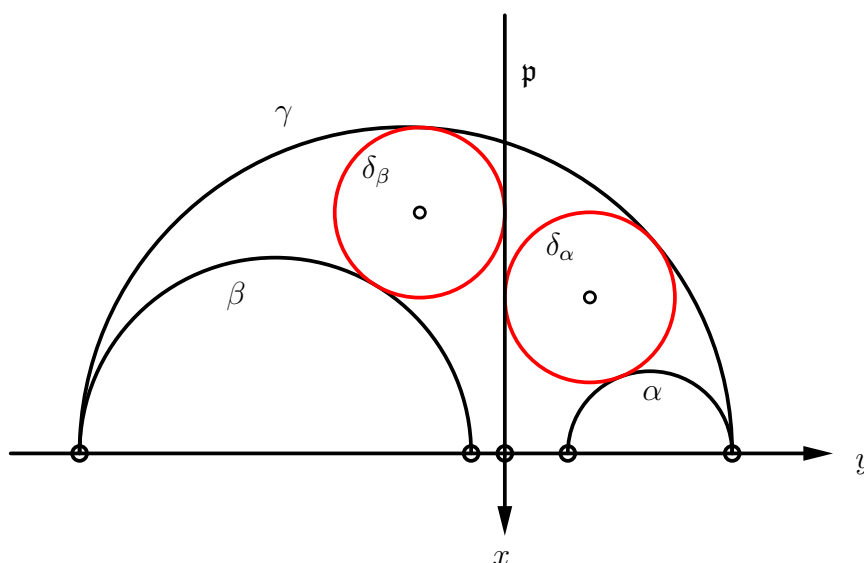


Abbildung 2.3: Kollinearer Arbelos mit archimedischen Zwillingen

Wir werden Satz 3, der in [6] im Rahmen der Elementargeometrie bewiesen wurde, mit Methoden der Zyklographie beweisen. Da es sich um Aussagen über Kreise handelt, müssen zwei Fälle unterschieden werden: Im ersten Fall sind die archimedischen Kreise positiv orientierte Zykeln, im zweiten sind sie negativ orientiert.

Es wird hier der erste Fall gezeigt. Der Beweis für den zweiten verläuft analog mit Vorzeichenumkehrung.

*Beweis.* Die beiden berührenden Zykeln  $\delta_\alpha$  und  $\delta_\beta$  sollen positiv orientiert sein. Daraus folgt, dass die Zykeln  $\alpha$  und  $\beta$  negativ und  $\gamma$  positiv orientiert sind, da in den Berührungspunkten gleiche Orientierung vorliegen muss.

In 1.2 wurde gezeigt, dass der Scheitel von  $45^\circ$ -Kegeln jener Zykeln, die  $\alpha$  und  $\gamma$  beziehungsweise  $\beta$  und  $\gamma$  berühren, auf der Schnittkurve 2. Ordnung der beiden zugehörigen

## 2 Kollinearer Arbelos

Drehkegel  $K_\alpha$  und  $K_\beta$  beziehungsweise  $K_\beta$  und  $K_\gamma$  durch die jeweils zyklgraphischen Originale  $S_\alpha, S_\beta, S_\gamma$  zu finden ist. Zusätzlich sollen  $\delta_\alpha$  und  $\delta_\beta$  auch die Potenzgerade berühren, weshalb der gesuchte Scheitel auch in der Ebene durch den Speer, den die Potenzgerade mit geeigneter Orientierung definiert, sein muss.

Es genügt hier, die z-Koordinaten der zyklgraphischen Originale  $S_{\delta_\alpha}$  und  $S_{\delta_\beta}$  zu berechnen, um die Gleichheit der Radien der archimedischen Zwillinge nachzuweisen.

Abb. 2.4 zeigt den Sachverhalt.

Die Drehkegel- und Ebenengleichungen lauten:

$$\begin{aligned} K_\alpha : \quad & x^2 + (y - m_\alpha)^2 = (z + r_\alpha)^2 \\ K_\beta : \quad & x^2 + (y - m_\beta)^2 = (z + r_\beta)^2 \\ K_\gamma : \quad & x^2 + (y - m_\gamma)^2 = (z - r_\gamma)^2 \\ \varepsilon_1 : \quad & z = y \\ \varepsilon_2 : \quad & z = -y \end{aligned}$$

Für die Höhen der gesuchten Punkte werden die entsprechenden Drehkegel und die Ebene geschnitten. Danach berechnen wir die z-Koordinaten der Schnittpunkte:

$$K_\alpha \cap K_\gamma \cap \varepsilon_1 :$$

$$\begin{aligned} (z - m_\gamma)^2 - (z - m_\alpha)^2 &= (z - r_\gamma)^2 - (z + r_\alpha)^2 \\ z^2 - 2m_\gamma z + m_\gamma^2 - z^2 + 2m_\alpha z - m_\alpha^2 &= z^2 - 2r_\gamma z + r_\gamma^2 - z^2 - 2r_\alpha z - r_\alpha^2 \\ z_{S_{\delta_\alpha}} &= \frac{r_\gamma^2 - r_\alpha^2 - m_\gamma^2 + m_\alpha^2}{2(r_\gamma + r_\alpha - m_\gamma + m_\alpha)} \end{aligned} \quad (2.2)$$

$$K_\beta \cap K_\gamma \cap \varepsilon_2 :$$

$$\begin{aligned} (-z - m_\gamma)^2 - (-z - m_\beta)^2 &= (z - r_\gamma)^2 - (z + r_\beta)^2 \\ z^2 + 2m_\gamma z + m_\gamma^2 - z^2 - 2m_\beta z - m_\beta^2 &= z^2 - 2r_\gamma z + r_\gamma^2 - z^2 - 2r_\beta z - r_\beta^2 \\ z_{S_{\delta_\beta}} &= \frac{r_\gamma^2 - r_\beta^2 - m_\gamma^2 + m_\beta^2}{2(r_\gamma + r_\beta + m_\gamma - m_\beta)} \end{aligned} \quad (2.3)$$

Werden die bekannten Werte der Mittelpunkte und Radien in (2.2) und (2.3) eingesetzt, so liefert das nach kurzer Rechnung:

$$z_{S_{\delta_\alpha}} = \frac{ap - ab}{2(a - b)}, \quad z_{S_{\delta_\beta}} = \frac{bq - ab}{2(a - b)}.$$

Da die x-Achse auch die Potenzgerade der Zykel  $\alpha$  und  $\beta$  ist, muss die Bedingung (2.1)

2 Kollinearer Arbelos

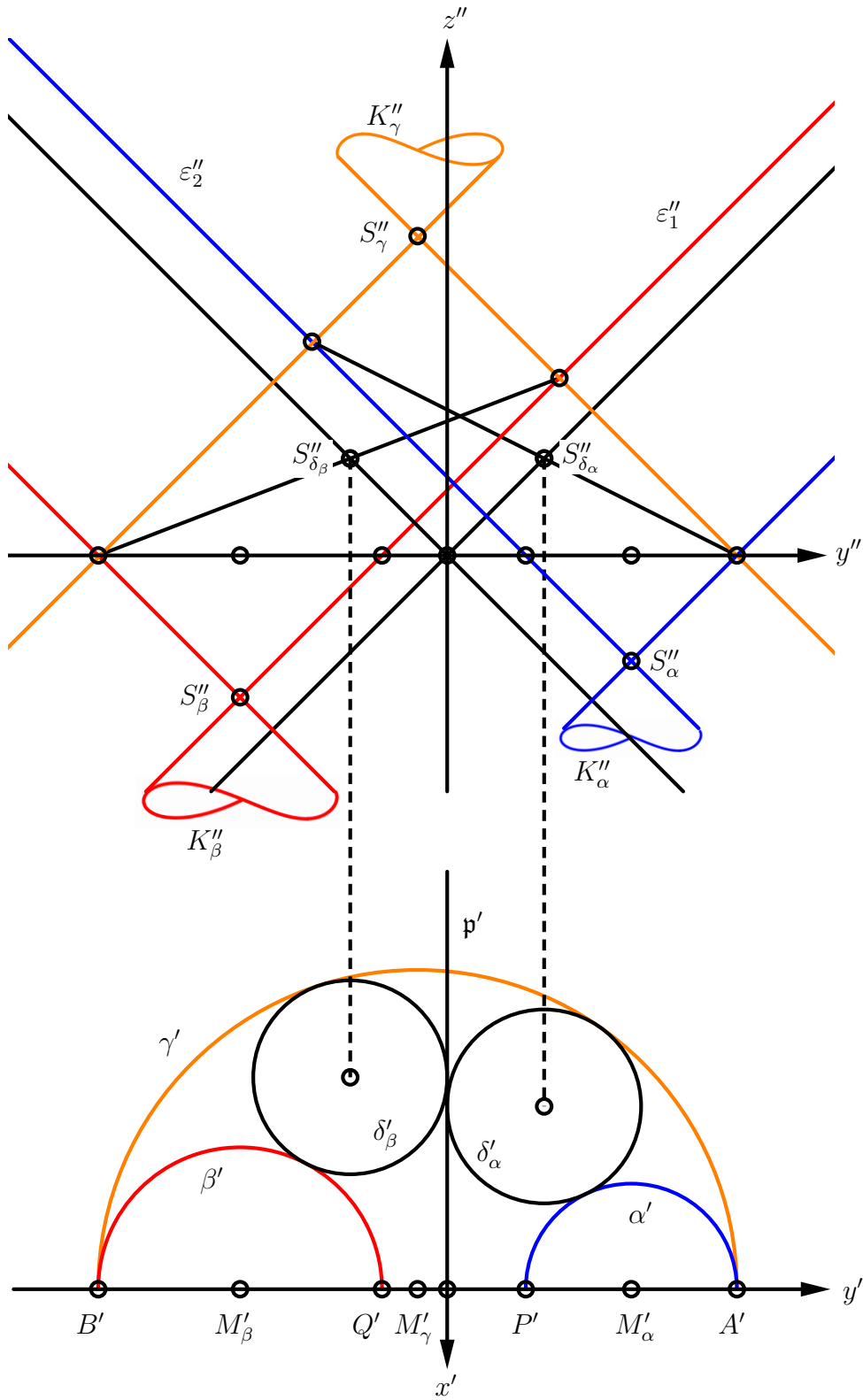


Abbildung 2.4: Konstruktion der archimedischen Zwillinge

## 2 Kollinearer Arbelos

verwendet werden. Das ergibt:

$$z_{S_{\delta_\alpha}} = \frac{ap - ab}{2(a - b)} \stackrel{(2.1)}{=} \frac{bq - ab}{2(a - b)} = z_{S_{\delta_\beta}}.$$

Die Kreisradien sind daher durch

$$|z_{S_{\delta_\alpha}}| = |z_{S_{\delta_\beta}}|$$

erfasst. □

Ein synthetischer Beweis für die Gleichheit der Kreisradien aus Satz 3 kann über Ähnlichkeiten geführt werden.

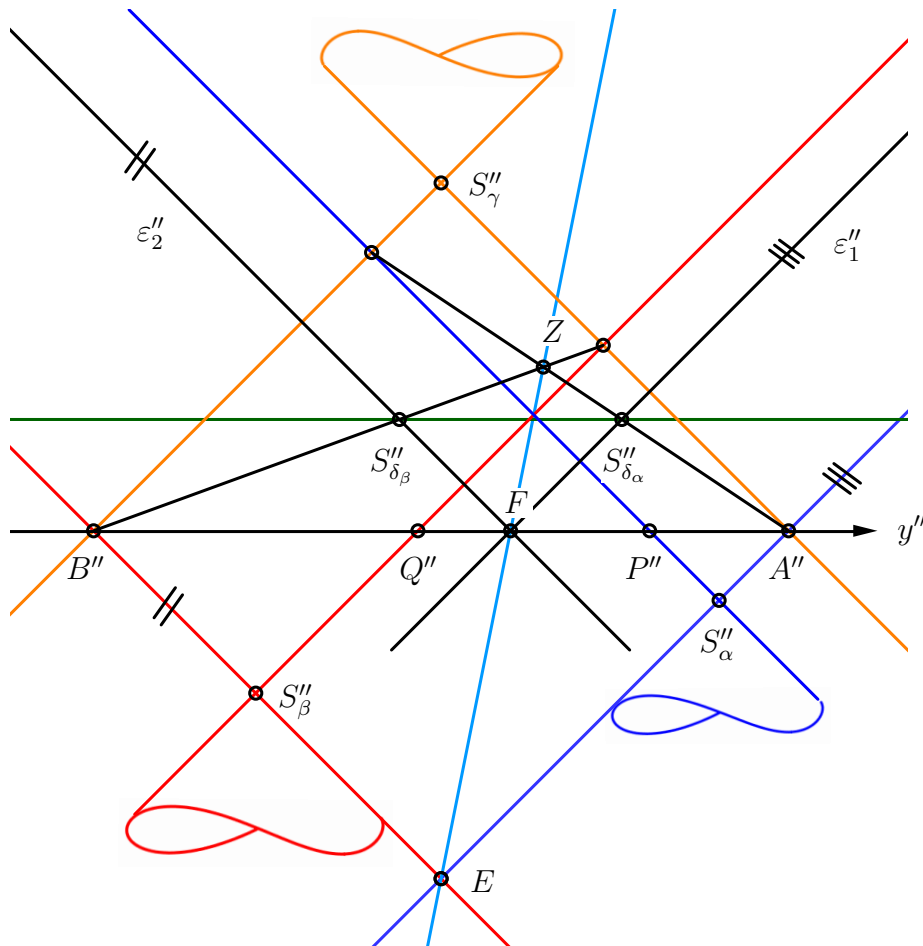


Abbildung 2.5: Beweis mittels zentrischer Ähnlichkeit

## 2 Kollinearer Arbelos

*Beweis.* Die drei Drehkegel  $K_\alpha, K_\beta, K_\gamma$  schneiden sich in einem Punktepaar, dessen Aufriß in den Punkt  $Z$  fällt (Abb. 2.5). Wir wählen eine zentrische Ähnlichkeit mit dem Zentrum  $Z$ , die  $E$  in  $F$  überführt. Es gelten

$$[E, A] \parallel \varepsilon_1'' \quad \text{und} \quad [E, B] \parallel \varepsilon_2''.$$

Daher führt die Ähnlichkeit die Punkte  $A$  und  $B$  in die Punkte  $S''_{\delta_\alpha}$  und  $S''_{\delta_\beta}$  über. Die Geraden  $[A, B]$  und  $[S_{\delta_\alpha}, S_{\delta_\beta}]$  sind daher parallel und die Punkte  $S_{\delta_\alpha}$  und  $S_{\delta_\beta}$  haben denselben Abstand von der Ebene  $\pi$ . Dieser Abstand legt den Radius des jeweiligen Kreises fest. Das bedeutet, dass die Radien der archimedischen Zwillinge gleich sind.  $\square$

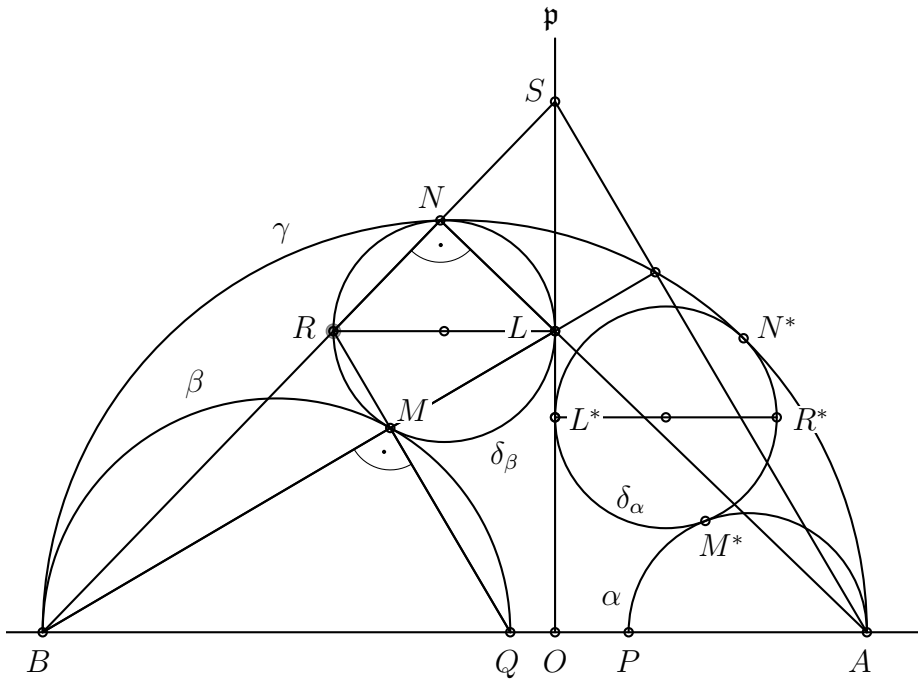


Abbildung 2.6: synthetischer Beweis nach Johnson

*Beweis.* (nach R. A. Johnson [2])

Die archimedischen Zwillinge  $\delta_\alpha$  und  $\delta_\beta$  berühren die Halbkreise  $\alpha, \beta, \gamma$  und die Potenzgerade  $\mathfrak{p}$  in Punkten  $L, M, N$  beziehungsweise  $L^*, M^*, N^*$  (siehe Abb. 2.6). Die Strecken  $\overline{RL}$  und  $\overline{R^*L^*}$  sind Durchmesser dieser Kreise. Die Verlängerung der Strecke  $\overline{BN}$  schneidet die Potenzgerade  $\mathfrak{p}$  im Punkt  $S$ .

In dieser Figur treten mehrere zentrische Ähnlichkeiten auf, von denen wir jene mit Zentren  $M$  und  $N$  genauer betrachten:

## 2 Kollinearer Arbelos

$$\zeta_M := \begin{cases} \beta \rightarrow \delta_\beta \\ B \mapsto L \\ Q \mapsto R \end{cases} \qquad \zeta_N := \begin{cases} \gamma \rightarrow \delta_\beta \\ B \mapsto R \\ A \mapsto L \end{cases}$$

Die Höhen des Dreiecks  $ABS$  sind einerseits die Gerade  $[O, S]$  und wegen des Satzes von Thales  $[A, N]$ . Der Höhenschnittpunkt ist somit  $L$ , und die Gerade durch  $B$  und  $L$  schneidet die Gerade durch  $A$  und  $S$  im rechten Winkel. Daher sind  $[Q, R]$  und  $[A, S]$  zueinander parallel.

Im Dreieck  $OBS$  gilt nach dem Strahlensatz:

$$\overline{RL} : \overline{BO} = \overline{RS} : \overline{BS}.$$

Im Dreieck  $ABS$  gilt:

$$\overline{RS} : \overline{BS} = \overline{AQ} : \overline{AB}.$$

Aus den beiden Verhältnissen folgt für den Durchmesser des Kreises  $\delta_\beta$ :

$$\overline{RL} = \frac{\overline{AQ} \cdot \overline{BO}}{\overline{AB}}.$$

Auf gleiche Weise kann der Durchmesser des Kreises  $\delta_\alpha$  berechnet werden, und man erhält:

$$\overline{R^*L^*} = \frac{\overline{BP} \cdot \overline{AO}}{\overline{AB}}.$$

Es bleibt nun noch zu zeigen, dass diese beiden Durchmesser übereinstimmen. Da die Nenner bereits gleich sind, ist nur die Gleichheit der beiden Zähler nachzuweisen:

$$\overline{AQ} \cdot \overline{BO} \stackrel{?}{=} \overline{BP} \cdot \overline{AO}.$$

Es ist

$$\begin{aligned} \overline{BP} \cdot \overline{AO} &= (\overline{BO} + \overline{OP}) \cdot \overline{AO} \\ &= \overline{BO} \cdot \overline{AO} + \overline{OP} \cdot \overline{AO} \\ &= \overline{BO} \cdot \overline{AO} + \overline{OQ} \cdot \overline{BO} \\ &= \overline{BO} \cdot \overline{AO} + \overline{OQ} \\ &= \overline{BO} \cdot \overline{AQ} \end{aligned}$$

## 2 Kollinearer Arbelos

Die Radien sind daher gleich und besitzen den Wert:

$$r_{\delta_\alpha} = \frac{\overline{AQ} \cdot \overline{BO}}{2 \cdot \overline{AB}} = r_{\delta_\beta}$$

Mit den obigen Werten ergibt das:

$$r_{\delta_\alpha} = \left| \frac{ab - bq}{2(a - b)} \right| = r_{\delta_\beta}$$

□



# 3 Verallgemeinerter Arbelos

## 3.1 Definition

Gegeben sind zwei Kreise  $\alpha$  und  $\beta$  mit Mittelpunkten  $M_\alpha$  und  $M_\beta$ , die sich im Ursprung  $O$  von außen berühren. Sie besitzen die Radien  $r_\alpha$  und  $r_\beta$ . Der dritte Kreis  $\gamma$  berührt  $\alpha$  und  $\beta$  in zwei Punkten  $A$  und  $B$ , die nicht kollinear mit den Mittelpunkten  $M_\alpha$  und  $M_\beta$  der beiden gegebenen Kreise sind.

**Definition 11.** Jede von drei sich berührenden Kreisen begrenzte Fläche, wird verallgemeinerter Arbelos genannt.

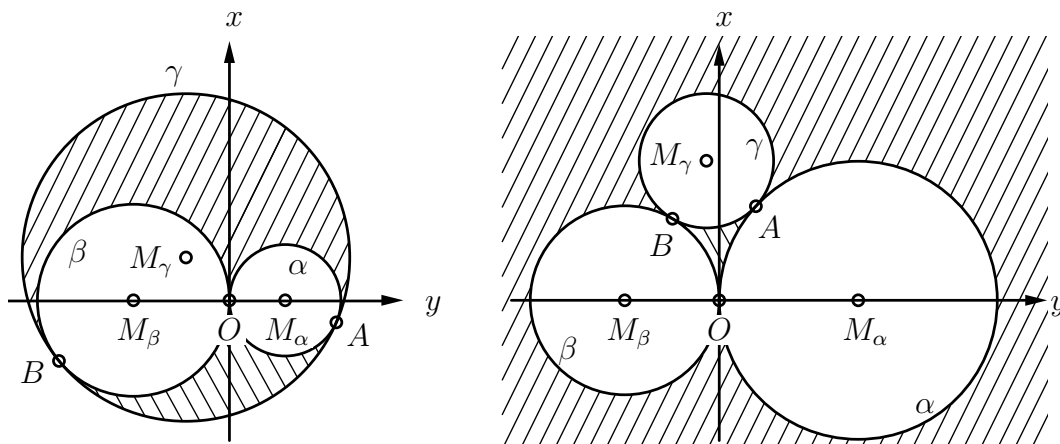


Abbildung 3.1: Verallgemeinerte Arbeloi

Es gibt stets zwei verallgemeinerte Arbeloi, die von drei berührenden Kreisen begrenzt werden. Im Fall, dass  $\gamma$  die gegebenen Kreise  $\alpha$  und  $\beta$  von außen berührt (siehe Abb. 3.1, rechts), ist ein Arbelos ein Kreisdreieck, der andere ist ein entarteter Arbelos.

### 3.2 Kongruente Kreise im verallgemeinerten Arbelos

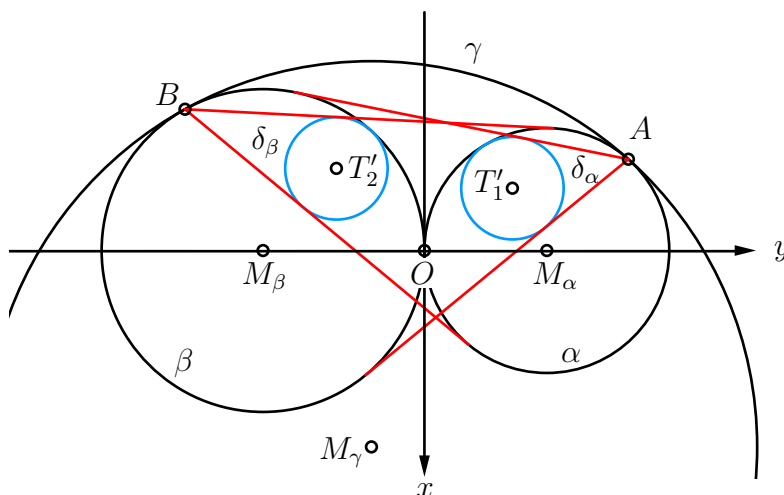


Abbildung 3.2: Kongruente Kreise im verallgemeinerten Arbelos

Gegeben ist ein verallgemeinerter Arbelos.

Für die Radien  $r_\alpha$ ,  $r_\beta$  und die Koordinaten der Mittelpunkte  $M_\alpha$ ,  $M_\beta$  der Kreise  $\alpha$  und  $\beta$  legen wir folgende Werte fest (für  $a, b > 0$ ):

$$M_\alpha(0/m_\alpha/0) \quad M_\beta(0/m_\beta/0)$$

$$m_\alpha = a, \quad m_\beta = -b$$

$$r_\alpha, r_\beta > 0 \quad \text{mit} \quad r_\alpha = a, \quad r_\beta = b$$

Der Kreis  $\delta_\alpha$  berührt  $\alpha$  und die Tangenten, die aus  $A$  an  $\beta$  gelegt werden können,  $\delta_\beta$  hingegen den Kreis  $\beta$  und die Tangenten aus  $B$  an  $\alpha$ .  $\delta_\alpha$  sei jener von  $\beta$  verschiedene Kreis, dessen Mitte  $T'_1$  auf  $[A, M_\beta]$  liegt.  $\delta_\beta$  hat seinen Mittelpunkt  $T'_2$  auf der Geraden  $[B, M_\alpha]$ . Mit [6] gilt:

**Satz 4.** Die Kreise  $\delta_\alpha$  und  $\delta_\beta$  sind kongruent.

Auch dieser Satz soll mit Hilfe der Zyklographie bewiesen werden. Wie bei Satz 3 müssen hier ebenfalls zwei Fälle unterschieden werden. Wir nehmen an, dass die beiden Kreise  $\delta_\alpha$  und  $\delta_\beta$  positiv orientierte Zyklen sind. Im Fall, dass sie negativ orientiert sind, müssen nur die Vorzeichen entsprechend geändert werden.

### 3 Verallgemeinerter Arbelos

*Beweis.* Aufgrund der Annahme, dass  $\delta_\alpha$  und  $\delta_\beta$  positiv orientiert sind, müssen auch die Zyklen  $\alpha$  und  $\beta$  gegen den Uhrzeigersinn durchlaufen werden um die Berührbedingung für Zyklen zu erfüllen.

Die Koordinaten der zyklographischen Originale  $S_\alpha, S_\beta$  von  $\alpha$  und  $\beta$  sowie die Gleichungen der Drehkegel  $K_\alpha, K_\beta$  durch die zyklographischen Originale, lauten:

$$S_\alpha(0/a/a) \quad S_\beta(0/ - b/b)$$

$$K_\alpha : x^2 + (y - m_\alpha)^2 = (z - r_\alpha)^2$$

$$K_\beta : x^2 + (y - m_\beta)^2 = (z - r_\beta)^2$$

Mit den oben festgesetzten Werten erhält man:

$$K_\alpha : x^2 + (y - a)^2 = (z - a)^2$$

$$K_\beta : x^2 + (y + b)^2 = (z - b)^2$$

Die Punkte  $A$  und  $B$  hängen vom berührenden Zyklen  $\gamma$  ab. Sein zyklographisches Original  $S_\gamma$  muss auf der Restschnittkurve  $c$  (in Abb. 3.3 hellblau dargestellt) der beiden Drehkegel  $K_\alpha$  und  $K_\beta$  liegen, kann darauf aber beliebig gewählt werden. Da er im Aufriss nur von der Höhe abhängig ist, bezeichnen wir diesen Punkt mit  $S_\gamma(h)$ , wobei  $h$  die  $z$ -Koordinate des Punktes  $S_\gamma(h)$  misst. Die Schnittkurve  $c$  lässt sich wie folgt berechnen:

$$\begin{aligned} K_\alpha \cap K_\beta : \quad & (y - a)^2 - (y + b)^2 = (z - a)^2 - (z - b)^2 \\ & y^2 - 2ay + a^2 - y^2 - 2by - b^2 = z^2 - 2az + a^2 - z^2 + 2bz - b^2 \\ & -2y(a + b) = -2z(a - b) \end{aligned}$$

Damit ist der Aufriss von  $c$  projizierend.  $c$  liegt in der Ebene mit der Gleichung

$$y = \frac{a - b}{a + b}z.$$

Der Punkt  $S_\gamma(h)$  hat demnach die Koordinaten

$$S_\gamma(h) \left( x_{S_\gamma} \left/ \frac{a - b}{a + b}h \right/ h \right),$$

### 3 Verallgemeinerter Arbelos

wobei die x-Koordinate keine Bedeutung für die weiteren Berechnungen hat und deshalb an dieser Stelle nicht angegeben wird.

$A$  und  $B$  sind die Berührungspunkte der Zyklen  $\alpha$  und  $\gamma$  beziehungsweise  $\beta$  und  $\gamma$  und liegen in  $\pi$ . Durch sie verlaufen zwei Erzeugende  $e_1$  und  $e_2$ , in denen sich die beiden entsprechenden Drehkegel  $K_\alpha$  und  $K_\gamma$  beziehungsweise  $K_\beta$  und  $K_\gamma$  berühren. Diese Berührerzeugenden sind daher zwei Geraden durch die jeweiligen Scheitel der Drehkegel. Auch hier sind die x-Koordinaten der Punkte  $A$  und  $B$  im weiteren Verlauf nicht relevant, weshalb die folgenden Überlegungen nur für den Aufriss durchgeführt werden.

Die Gleichungen der Aufrisse der beiden Erzeugenden  $e_1 = [S_\alpha, S_\gamma]$  und  $e_2 = [S_\beta, S_\gamma]$  sind gegeben durch:

$$e_1'' \dots \begin{pmatrix} y \\ z \end{pmatrix} = \begin{pmatrix} a \\ a \end{pmatrix} + \lambda_1 \begin{pmatrix} \frac{a-b}{a+b}h - a \\ h - a \end{pmatrix}$$

$$e_2'' \dots \begin{pmatrix} y \\ z \end{pmatrix} = \begin{pmatrix} -b \\ b \end{pmatrix} + \lambda_2 \begin{pmatrix} \frac{a-b}{a+b}h + b \\ h - b \end{pmatrix}$$

$A$  liegt im Schnitt der Erzeugenden  $e_1$  mit  $\pi$ . Für seine y-Koordinate  $y_A$  gilt daher:

$$\begin{pmatrix} a \\ a \end{pmatrix} + \lambda_1 \begin{pmatrix} \frac{a-b}{a+b}h - a \\ h - a \end{pmatrix} \stackrel{!}{=} \begin{pmatrix} y_A \\ 0 \end{pmatrix}$$

Für  $\lambda_1$  muss gelten:

$$\begin{aligned} a + \lambda_1(h - a) &= 0 \\ \lambda_1 &= \frac{a}{a - h} \end{aligned}$$

$$y_A = a + \frac{a}{a - h} \left( \frac{a - b}{a + b}h - a \right)$$

$$y_A = \frac{a^3 + a^2b - a^2h - abh + a^2h - abh - a^3 - a^2b}{(a + b)(a - h)}$$

$$y_A = \frac{2abh}{(a + b)(h - a)}$$

### 3 Verallgemeinerter Arbelos

$A$  hat somit die Koordinaten:

$$A \left( x_A \left/ \frac{2abh}{(a+b)(h-a)} \right/ 0 \right)$$

$B$  liegt im Schnitt der Erzeugenden  $e_2$  mit  $\pi$  und besitzt die y-Koordinate  $y_B$ , für die gilt:

$$\begin{pmatrix} -b \\ b \end{pmatrix} + \lambda_2 \begin{pmatrix} \frac{a-b}{a+b}h + b \\ h - b \end{pmatrix} \stackrel{!}{=} \begin{pmatrix} y_B \\ 0 \end{pmatrix}$$

Für  $\lambda_2$  muss daher gelten:

$$\begin{aligned} b + \lambda_2(h - b) &= 0 \\ \lambda_2 &= \frac{b}{b - h} \end{aligned}$$

$$y_B = -b + \frac{b}{b - h} \left( \frac{a - b}{a + b}h + b \right)$$

$$y_B = \frac{-b^3 - ab^2 + abh + b^2h + abh - b^2h + ab^2 + b^3}{(a + b)(b - h)}$$

$$y_B = \frac{2abh}{(a + b)(b - h)}$$

$B$  hat somit die Koordinaten

$$B \left( x_B \left/ \frac{2abh}{(a + b)(b - h)} \right/ 0 \right)$$

Die x-Koordinaten von  $A$  und  $B$  ergeben sich aus der Lage von  $A$  und  $B$  auf  $\alpha$  und  $\beta$ . Da die Zyklen  $\delta_\alpha$  und  $\delta_\beta$  die Tangenten aus  $A$  an  $\beta$  beziehungsweise aus  $B$  an  $\alpha$  berühren, müssen ihre zyklographischen Originale  $T_1$  und  $T_2$  auf den Schnittgeraden der beiden zugehörigen Ebenen durch diese Tangenten liegen. Die Ebenen sind gleichzeitig Tangentialebenen aus  $A$  an  $K_\beta$  beziehungsweise aus  $B$  an  $K_\alpha$ . Die Schnittgeraden verlaufen einerseits durch  $A$  und  $S_\beta$ , andererseits durch  $B$  und  $S_\alpha$ , weil die jeweiligen Tangentialebenen diese beiden Punkte enthalten. Lässt man die Punkte  $A$  und  $B$  auf den Zykeln  $\alpha$  und  $\beta$  laufen, so bilden die Schnittgeraden einen schiefen Kreiskegel  $K_1$  beziehungsweise  $K_2$ .

Um die Gleichungen der schiefen Kreiskegel zu berechnen, stellen wir zunächst Hilfske-

### 3 Verallgemeinerter Arbelos

gel mit Scheiteln in  $(0/m_\alpha/r_\beta)$  und  $(0/m_\beta/r_\alpha)$  und den Trägerkreisen von  $\alpha$  und  $\beta$  als Basiskreise auf.

$$x^2 + (y - m_\alpha)^2 = \left(\frac{r_\alpha}{r_\beta}\right)^2 (z - r_\beta)^2$$

$$x^2 + (y - m_\beta)^2 = \left(\frac{r_\beta}{r_\alpha}\right)^2 (z - r_\alpha)^2$$

Da die Scheitel zwar die richtige Höhe, aber nicht die passende y-Koordinate haben, muss eine Scherung gefunden werden, um sie in die gewünschte Position zu bringen.

$$(0/m_\alpha/r_\beta) \longrightarrow (0/m_\beta/r_\beta)$$

$$(0/m_\beta/r_\alpha) \longrightarrow (0/m_\alpha/r_\alpha)$$

Eine Scherung, bei der die  $[xy]$ -Ebene die Fixpunktsebene ist, und sich nur die y-Werte ändern, hat die Form

$$\begin{pmatrix} x^* \\ y^* \\ z^* \end{pmatrix} = \begin{pmatrix} 1 & 0 & 0 \\ 0 & 1 & \sigma \\ 0 & 0 & 1 \end{pmatrix} \begin{pmatrix} x \\ y \\ z \end{pmatrix}$$

mit  $\sigma \in \mathbb{R}$ . Für die erste Scherung muss gelten:

$$\begin{pmatrix} 0 \\ m_\beta \\ r_\beta \end{pmatrix} = \begin{pmatrix} 1 & 0 & 0 \\ 0 & 1 & \sigma_1 \\ 0 & 0 & 1 \end{pmatrix} \begin{pmatrix} 0 \\ m_\alpha \\ r_\beta \end{pmatrix}$$

$$\Rightarrow \sigma_1 = \frac{m_\beta - m_\alpha}{r_\beta}$$

$$\Rightarrow y = y^* - \frac{m_\beta - m_\alpha}{r_\beta} z^*.$$

Für die zweite Scherung gewinnen wir analog:

$$\begin{pmatrix} 0 \\ m_\beta \\ r_\alpha \end{pmatrix} = \begin{pmatrix} 1 & 0 & 0 \\ 0 & 1 & \sigma_2 \\ 0 & 0 & 1 \end{pmatrix} \begin{pmatrix} 0 \\ m_\beta \\ r_\beta \end{pmatrix}$$

### 3 Verallgemeinerter Arbelos

$$\begin{aligned}\Rightarrow \sigma_2 &= \frac{m_\alpha - m_\beta}{r_\alpha} \\ \Rightarrow y &= y^* - \frac{m_\alpha - m_\beta}{r_\alpha} z^*.\end{aligned}$$

Die Hilfskegel werden diesen Scherungen unterworfen und liefern uns die schiefen Kreiskegel mit folgenden Gleichungen:

$$\begin{aligned}K_1: \quad x^2 + \left( y - \frac{m_\beta - m_\alpha}{r_\beta} z - m_\alpha \right)^2 &= \left( \frac{r_\alpha}{r_\beta} \right)^2 (z - r_\beta)^2 \\ K_2: \quad x^2 + \left( x - \frac{m_\alpha - m_\beta}{r_\alpha} z - m_\beta \right)^2 &= \left( \frac{r_\beta}{r_\alpha} \right)^2 (z - r_\alpha)^2\end{aligned}$$

Wir formen noch um:

$$\begin{aligned}K_1: \quad x^2 + \left( y + \frac{a+b}{b} z - a \right)^2 &= \left( \frac{a}{b} \right)^2 (z - b)^2 \\ K_2: \quad x^2 + \left( y - \frac{a+b}{a} z + b \right)^2 &= \left( \frac{b}{a} \right)^2 (z - a)^2\end{aligned}$$

Die möglichen Orte von  $T_1$  liegen auf der Schnittkurve des Drehkegels  $K_\alpha$  mit dem schiefen Kreiskegel  $K_1$ . Die Schnittkurve zerfällt, da die beiden Kegel bereits eine Kurve zweiter Ordnung - nämlich den Trägerkreis von  $\alpha$  - gemeinsam haben. Die Restschnittkurve muss eine Parabel sein, weil das im Aufriss parallele Erzeugendenpaar einen Fernpunkt als Schnittpunkt hat.

### 3 Verallgemeinerter Arbelos

$$\begin{aligned}
 K_1 \cap K_\alpha : \quad & (y - a)^2 - \left( y + \frac{a+b}{b}z - a \right)^2 = \\
 & (z - a)^2 - \left( \frac{a}{b} \right)^2 (z - b)^2 \\
 y^2 - 2ay + a^2 - y^2 - 2\frac{a+b}{b}yz + 2ay - \frac{(a+b)^2}{b^2}z^2 + 2\frac{a(a+b)}{b}z - a^2 = \\
 & z^2 \left( 1 - \frac{a^2}{b^2} \right) + 2z \left( \frac{a^2}{b} - a \right) \\
 -z^2 \left( \frac{(a+b)^2 + b^2 - a^2}{b^2} \right) + 2z \left( -\frac{a+b}{b}y + \frac{a(a+b)}{b} - \frac{a^2 - ab}{b} \right) = 0 \\
 & z \left( -\frac{2(a+b)}{b}z - \frac{2(a+b)}{b}y + 4a \right) = 0 \\
 & z_1 = 0
 \end{aligned}$$

$p_1$  liegt daher in der Ebene mit der Gleichung

$$z_2 = -y + \frac{2ab}{a+b}.$$

$$\begin{aligned}
 K_2 \cap K_\beta : \quad & (y + b)^2 - \left( y - \frac{a+b}{a}z + b \right)^2 = \\
 & (z - b)^2 - \left( \frac{b}{a} \right)^2 (z - a)^2 \\
 y^2 - 2by + b^2 - y^2 + 2\frac{a+b}{a}yz + 2by - \frac{(a+b)^2}{a^2}z^2 + 2\frac{b(a+b)}{a}z - b^2 = \\
 & z^2 \left( 1 - \frac{b^2}{a^2} \right) + 2z \left( \frac{b^2}{a} - b \right) \\
 -z^2 \left( -\frac{(a+b)^2 - a^2 + b^2}{a^2} \right) + 2z \left( \frac{a+b}{a}y + \frac{b(a+b)}{a} - \frac{b^2 - ab}{a} \right) = 0 \\
 & z \left( -\frac{2(a+b)}{a}z - \frac{2(a+b)}{a}y + 4b \right) = 0 \\
 & z_1 = 0
 \end{aligned}$$

$p_2$  liegt daher in der Ebene mit der Gleichung

$$z_2 = y + \frac{2ab}{a+b}.$$



### 3 Verallgemeinerter Arbelos

Die beiden Trägerebenen der Parabeln sind im Aufriss projizierend (siehe Abb. 3.3). Für die zyklographischen Originale  $T_1$  und  $T_2$  von  $\delta_\alpha$  und  $\delta_\beta$  müssen die Erzeugenden  $f_1$  und  $f_2$  der schiefen Kreiskegel durch  $A$  und  $B$  mit den soeben berechneten Trägerebenen der Parabeln geschnitten werden. Für uns sind hier nur die z-Koordinaten von Bedeutung um die obige Behauptung zu beweisen, weshalb wir die Berechnung wieder nur für den Aufriss durchführen und die x-Koordinaten der Punkte und Vektoren außer Acht lassen.

Die Gleichungen der Aufrisse der Erzeugenden  $f_1, f_2$  durch  $A''$  und  $S''_\beta$  beziehungsweise  $B''$  und  $S''_\alpha$  werden erfasst durch:

$$f_1'' \cdots \begin{pmatrix} y \\ z \end{pmatrix} = \begin{pmatrix} -b \\ b \end{pmatrix} + \mu_1 \begin{pmatrix} \frac{2abh}{(a+b)(h-a)} + b \\ -b \end{pmatrix}$$

$$f_2'' \cdots \begin{pmatrix} y \\ z \end{pmatrix} = \begin{pmatrix} a \\ a \end{pmatrix} + \mu_2 \begin{pmatrix} \frac{2abh}{(a+b)(b-h)} - a \\ -a \end{pmatrix}$$

$$f_1 \cap p_1 : \quad b - b\mu_1 = - \left( -b + \mu_1 \left( \frac{2abh}{(a+b)(h-a)} + b \right) \right) + \frac{2ab}{a+b}$$

$$\frac{2abh}{(a+b)(h-a)} \mu_1 = \frac{2ab}{a+b}$$

$$\mu_1 = \frac{h-a}{h}$$

$$f_2 \cap p_2 : \quad a - a\mu_2 = \left( a + \mu_2 \left( \frac{2abh}{(a+b)(b-h)} - a \right) \right) + \frac{2ab}{a+b}$$

$$\frac{2abh}{(a+b)(b-h)} \mu_2 = - \frac{2ab}{a+b}$$

$$\mu_2 = \frac{h-b}{h}$$

$$z_{T_1} = b - b\mu_1$$

$$z_{T_2} = a - a\mu_2$$

$$z_{T_1} = b - \frac{h-a}{h}b$$

$$z_{T_2} = a - \frac{h-b}{h}a$$

$$z_{T_1} = \frac{ab}{h}$$

$$z_{T_2} = \frac{ab}{h}$$

Die Höhen der beiden zyklographischen Originale  $T_1$  und  $T_2$  von  $\delta_\alpha$  und  $\delta_\beta$  stimmen

### 3 Verallgemeinerter Arbelos

daher überein. Somit sind auch die Radien der beiden Zyklen gleich. Da  $h$  die z-Koordinate des zyklographischen Originals des Zyklus  $\gamma$  ist, können die Radien von  $\delta_\alpha$  und  $\delta_\beta$  allgemeiner geschrieben werden als:

$$r_{\delta_\alpha} = \frac{r_\alpha r_\beta}{r_\gamma} = r_{\delta_\beta}$$

□

Wir definieren beim verallgemeinerten Arbelos daher:

**Definition 12.** Der Radius der „neoarchimedischen“ Kreise eines verallgemeinerten Arbelos mit den Kreisen  $\alpha, \beta, \gamma$  beträgt:

$$\frac{r_\alpha r_\beta}{r_\gamma}.$$

### 3 Verallgemeinerter Arbelos

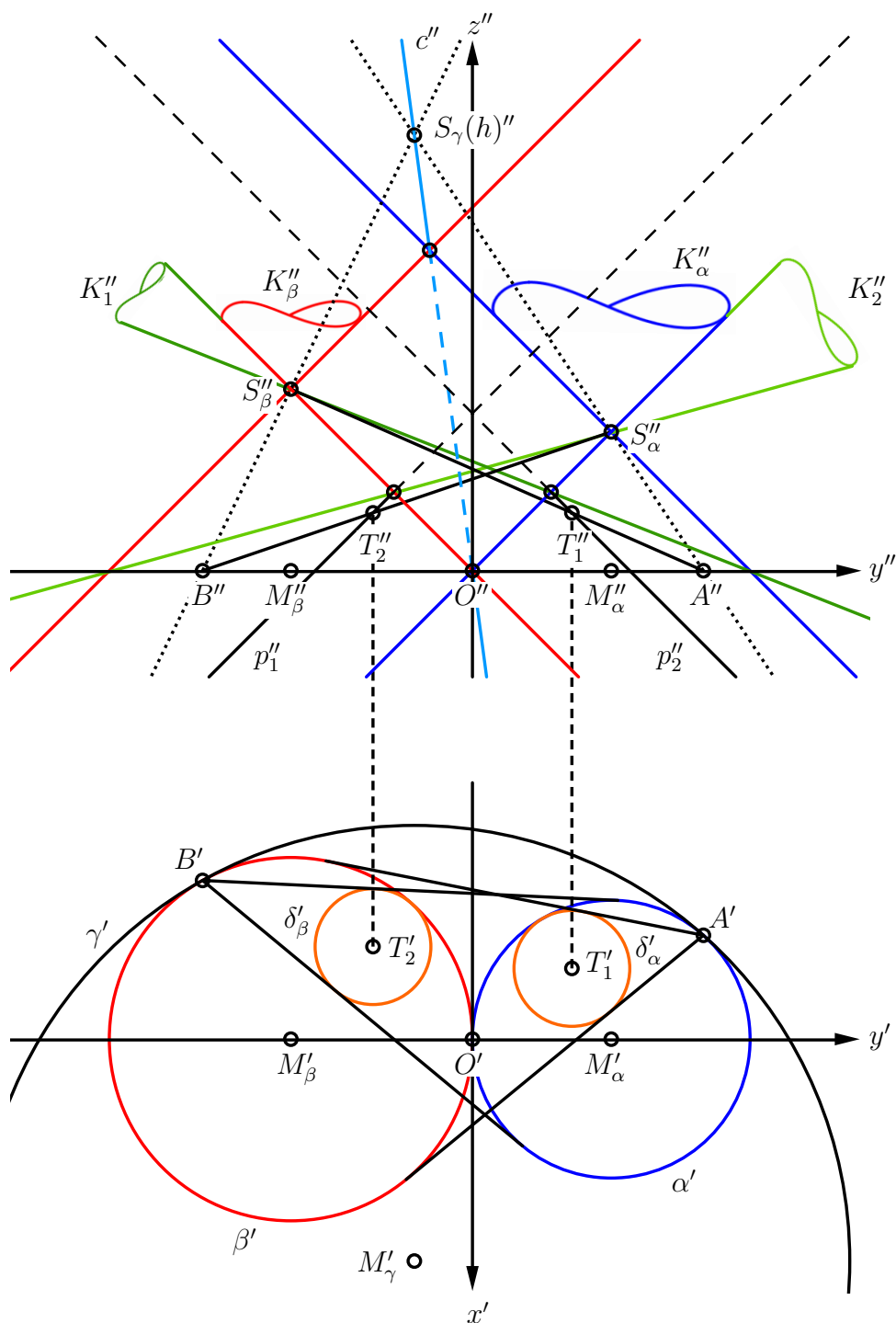


Abbildung 3.3: Konstruktion kongruenter Kreise im verallgemeinerten Arbelos

### 3 Verallgemeinerter Arbelos

Damit haben wir für den in [6] angegebenen Beweis eine zyklographische Variante gezeigt. Mit Hilfe von Ähnlichkeiten kann Satz 4 auch wie folgt synthetisch bewiesen werden.

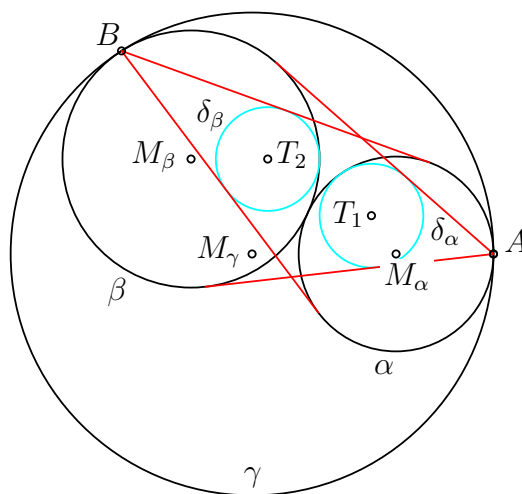


Abbildung 3.4: „Neoarchimedische“ Kreise

*Beweis.* Wir betrachten zuerst jene Ähnlichkeit  $\zeta_A$  mit Zentrum  $A$ , die den Kreis  $\gamma$  in den Kreis  $\alpha$  überführt. Dabei legen die Radien  $r_\alpha$  und  $r_\gamma$  der beiden Kreise den Proportionalitätsfaktor dieser Ähnlichkeit fest durch:

$$\frac{r_\alpha}{r_\gamma}$$

Weiters gilt für diese Ähnlichkeit:

$$\zeta_A : \beta \mapsto \delta_\alpha$$

Der Radius  $r_{\delta_\alpha}$  des Berührkreises lässt sich daher berechnen durch

$$r_{\delta_\alpha} = r_\beta \cdot \frac{r_\alpha}{r_\gamma} = \frac{r_\alpha r_\beta}{r_\gamma}$$

Ebenso kann man die Ähnlichkeit  $\zeta_B$  mit Zentrum  $B$ , die den Kreis  $\gamma$  auf den Kreis  $\beta$  abbildet, auf den Kreis  $\alpha$  anwenden. Der Proportionalitätsfaktor dieser Ähnlichkeit beträgt:

$$\frac{r_\beta}{r_\gamma}$$

Es gilt:

$$\zeta_B : \alpha \mapsto \delta_\beta$$

### 3 Verallgemeinerter Arbelos

Wie oben kann der Berührungskreisradius  $r_{\delta_\beta}$  wieder berechnet werden zu

$$r_{\delta_\beta} = r_\alpha \cdot \frac{r_\beta}{r_\gamma} = \frac{r_\alpha r_\beta}{r_\gamma}.$$

Folglich gehören die Kreise  $\delta_\alpha$  und  $\delta_\beta$  zu den „neoarchimedischen“ Kreisen.  $\square$

Gegeben sei ein verallgemeinerter Arbelos durch die Kreise  $\alpha, \beta, \gamma$ . Wir zeichnen nun zwei weitere berührende Kreise  $\widetilde{\delta}_\alpha, \overline{\delta}_\alpha$  (siehe Abb. 3.5) ein. Sie berühren  $\gamma, \alpha$  und die gemeinsame Tangente von  $\delta_\alpha$  und  $\delta_\beta$ . Ein Beweis dieses Sachverhaltes findet sich in Abschnitt 4.

Mit [6] gilt:

**Satz 5.** *Die beiden Kreise  $\widetilde{\delta}_\alpha$  und  $\overline{\delta}_\alpha$  gehören zu den „neoarchimedischen“ Kreisen.*

*Beweis.* Zu zeigen ist, dass die Kreise  $\delta_\alpha$  und  $\widetilde{\delta}_\alpha$  beziehungsweise  $\overline{\delta}_\alpha$  denselben Radius haben.

Betrachten wir die Kreise als Trägerkreise von Zykeln. Dann gilt:

Der Zykel  $\beta$  berührt sowohl den Zykel  $\alpha$  als auch den Zykel  $\gamma$ . Je nach Orientierung von  $\beta$  gibt es zwei zyklographische Originale  $S_\beta$  und  $\overline{S}_\beta$ . Sei  $\gamma$  negativ orientiert,  $\alpha$  folglich positiv, so ist  $\beta$  negativ orientiert. Da die Berührung der drei Zykeln vorausgesetzt wurde, liegt das zyklographische Original  $\overline{S}_\beta$  von  $\beta$  im Aufriss auf der Geraden  $e''$ , die die projizierende Trägerebene der Schnittkurve zweiter Ordnung der beiden Drehkegel mit Scheiteln in  $S_\alpha$  und  $S_\gamma$  und Basiskreisen  $\alpha$  und  $\gamma$  darstellt.

Das zyklographische Original von  $\delta_\alpha$  muss auf der Erzeugenden  $f$  durch  $A$  des schiefen Kreiskegels mit Scheitel in  $S_\beta$  und Basiskreis  $\alpha$  liegen (siehe voriger Beweis). Eine weitere Begründung für die Lage von  $S_{\delta_\alpha}$  beruht auf Ähnlichkeiten von Zykeln. Bei der Ähnlichkeit mit Zentrum  $A$ , die den Zykel  $\beta$  mit Orientierung in den Zykel  $\delta_\alpha$  überführt, sind die Scheitel der zugehörigen Drehkegel mit dem Zentrum kollinear (siehe Satz 1).

Die zyklographischen Originale von  $\beta$  können durch eine Spiegelung an der  $y$ -Achse im Aufriss ineinander übergeführt werden, weshalb die Geraden  $e$  und  $f$  denselben Winkel mit der  $y$ -Achse einschließen.

Die zyklographischen Originale von  $\widetilde{\delta}_\alpha$  und  $\overline{\delta}_\alpha$  liegen im Schnitt der Drehkegel  $K_\alpha$  und  $K_\gamma$  sowie in der Ebene durch den Speer, der die Tangente an  $\delta_\alpha$  enthält. Die Ebene fällt im Aufriss mit der Erzeugenden des Drehkegel mit Scheitel in  $\overline{S}_\beta$  zusammen. Die gesuchten zyklographischen Originale können durch eine Spiegelung an der  $y$ -Achse mit  $S_{\delta_\alpha}$  in Deckung gebracht werden, weil die Geraden  $e''$  und  $f''$  mit der  $y$ -Achse denselben Winkel einschließen. Der gleiche Radius der drei Kreise ist daher gezeigt.  $\square$

3 Verallgemeinerter Arbelos

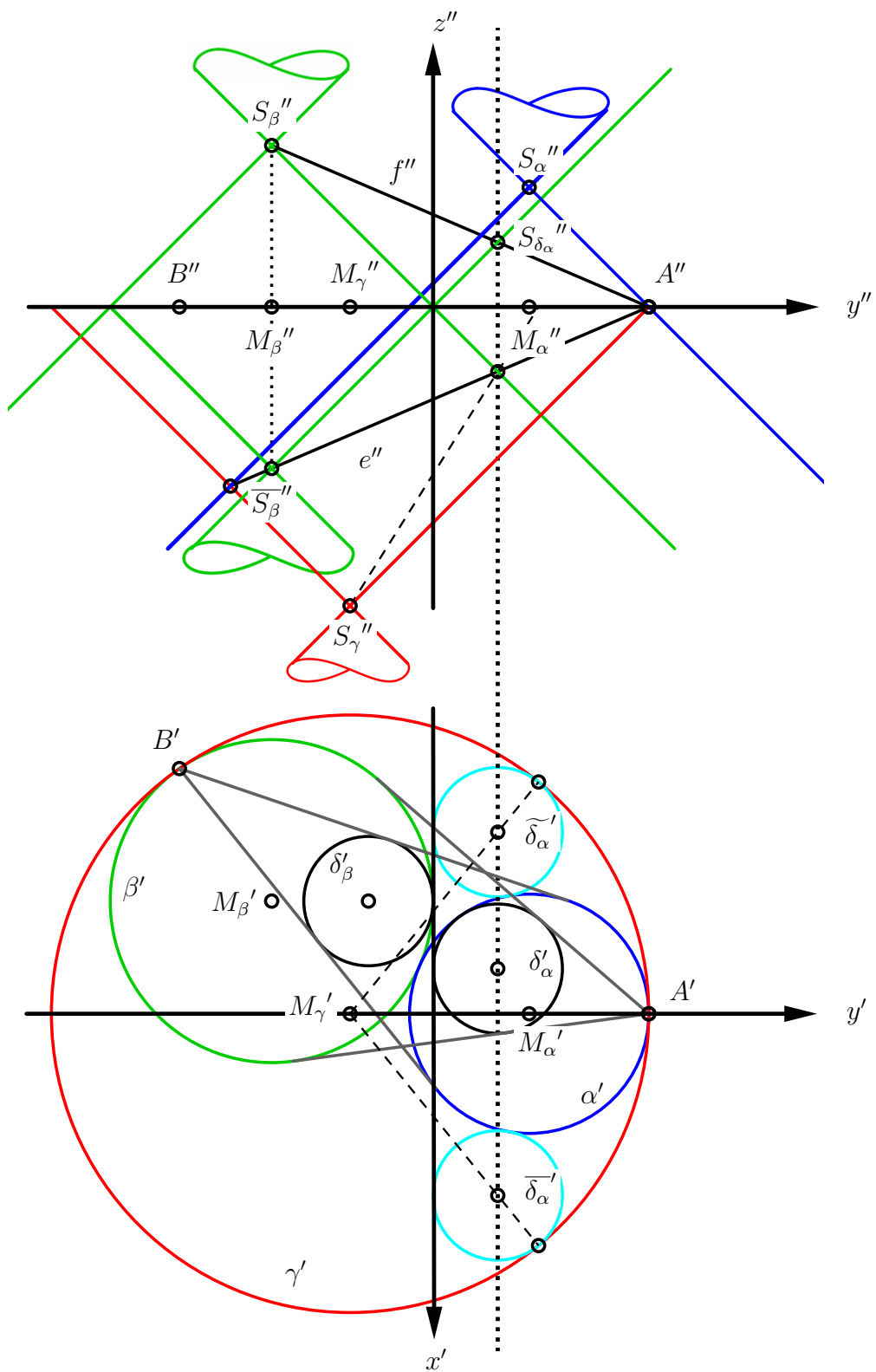


Abbildung 3.5: Verallgemeinerter Arbelos mit „neoarchimedischen“ Kreisen

### 3 Verallgemeinerter Arbelos

Es folgt ein dritter Beweis mit Hilfe der projektiven Geometrie:

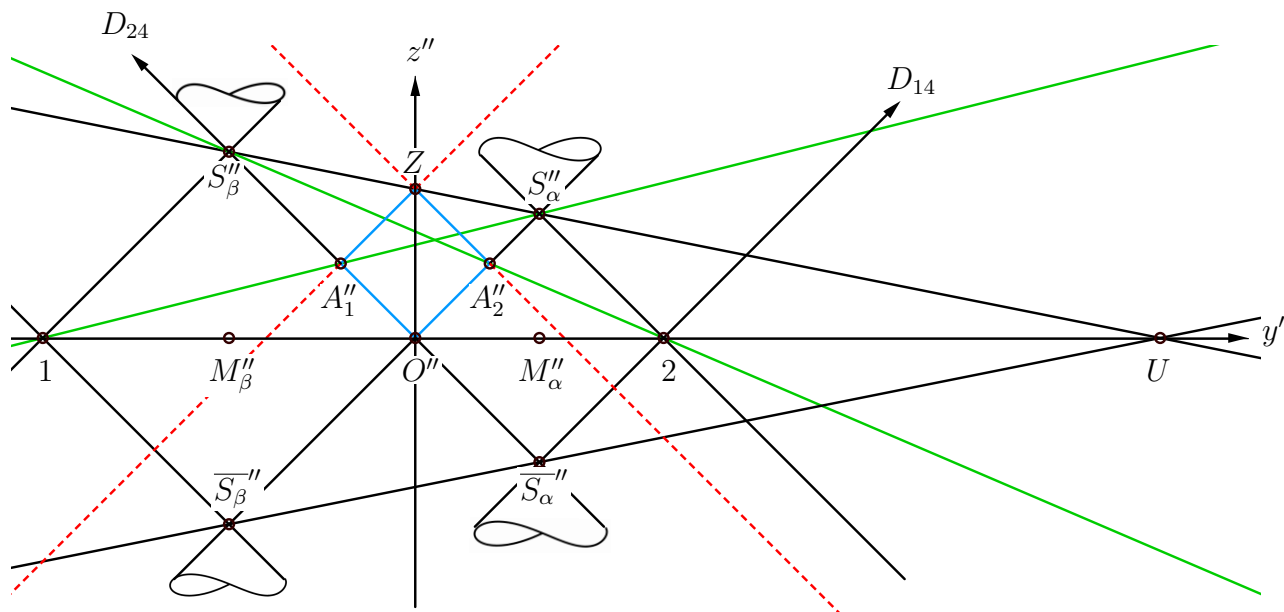


Abbildung 3.6: synthetischer Beweis

*Beweis.* Wir betrachten das Viereck  $\overline{S_\alpha S_\alpha S_\beta S_\beta}$  (siehe Abb. 3.6):

Die harmonische Lage der Punkte  $M_\beta M_\alpha O U$  wird übertragen auf die Punkte  $S_\beta S_\alpha Z U$ .

Wir konstruieren anschließend die Punkte  $A_1 := [S_\beta, O] \cap [1, S_\alpha]$

und  $A_2 := [S_\alpha, O] \cap [2, S_\beta]$

Die Diagonalschnittpunkte des Vierecks  $S_\beta 1 O S_\alpha$  sind dann:

$$A_1, U, D_{14},$$

wobei  $D_{14}$  ein Fernpunkt ist.

Die Diagonale  $[A_1, D_{14}]$  muss die Gerade  $[S_\beta, S_\alpha]$  im zu  $U$  bezüglich  $S_\beta$  und  $S_\alpha$  harmonischen Punkt  $Z$  schneiden.

Dasselbe gilt für die Diagonale  $[A_2, D_{24}]$  des Vierecks  $S_\alpha S_\beta O 2$ , die die Gerade  $[S_\beta, S_\alpha]$  auch im Punkt  $Z$  schneidet.

Das Viereck  $A_1 O A_2 Z$  ist aus zwei Gründen ein Quadrat:

- Die Geraden  $[O, S_\alpha]$  und  $[O, S_\beta]$  schließen mit  $y$ -Achse denselben Winkel ein, weil sie die Erzeugenden der zugehörigen Drehkegel von  $\alpha$  und  $\beta$  sind.
- Folgende Parallelitäten liegen vor:

$$[A_1, Z] \parallel [O, A_2] \quad \text{und} \quad [A_1, O] \parallel [Z, A_2]$$

### 3 Verallgemeinerter Arbelos

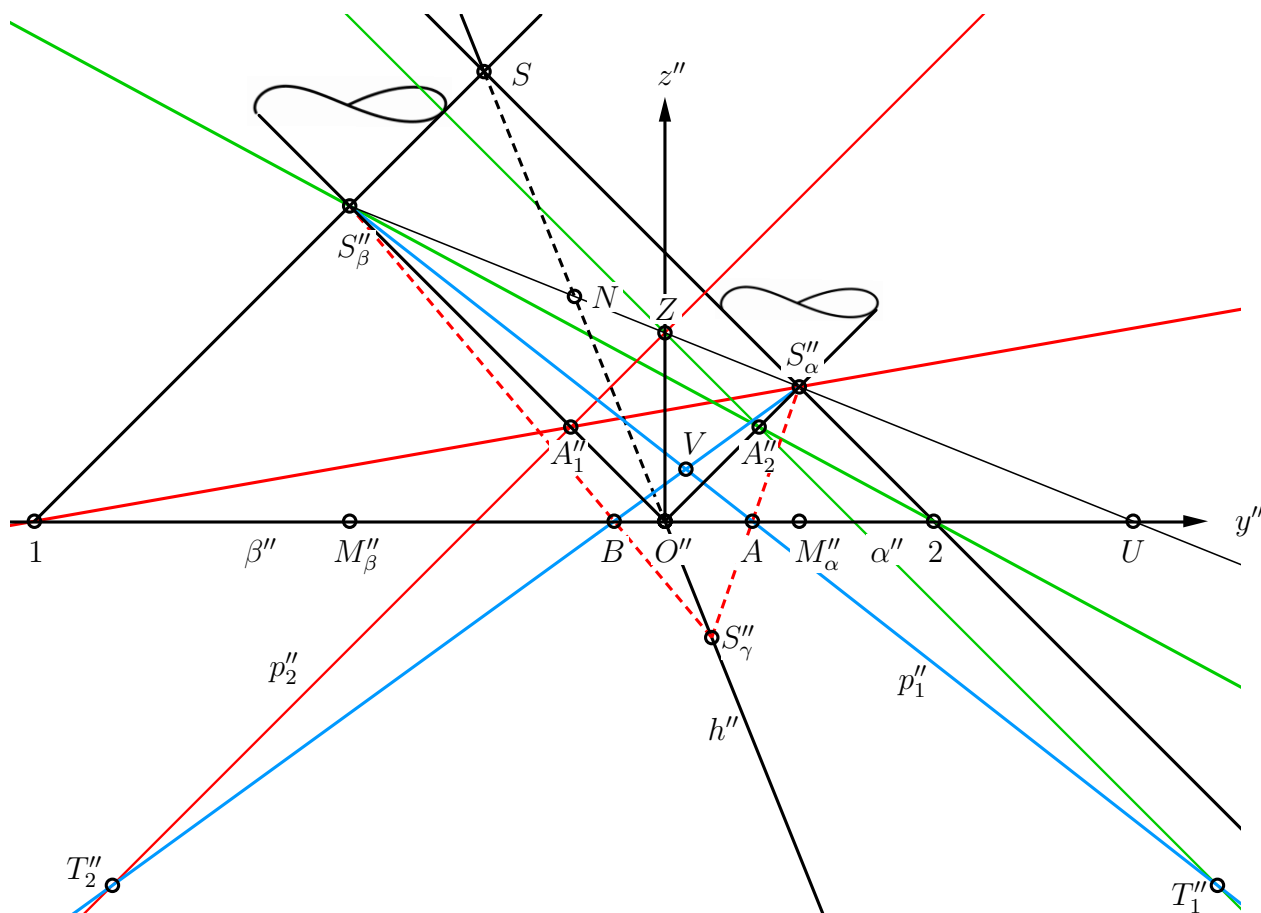


Abbildung 3.7: Aufriss des verallgemeinerten Arbelos

Die Gerade  $[A_1, A_2]$  und die  $y$ -Achse sind ebenso zueinander parallel, da die Eckpunkte  $Z$  und  $O$  des Quadrates auf der  $z$ -Achse liegen. Im ersten Beweis ist  $Z$  der Schnittpunkt der beiden projizierenden Trägerebenen der Parabeln  $p_1$  und  $p_2$ , die sich im Schnitt der Drehkegel mit den schiefen Kreiskegeln ergeben. Anhand ihrer Gleichungen erkennt man, dass ihr Achsenabschnitt gleich ist und ihr Schnittpunkt im Aufriss auf der  $z$ -Achse liegt. Wir betrachten nun wieder den „allgemeinen Fall“ und dabei den Aufriss der Hyperbel  $h$ , die sich aus Schnitt der beiden Drehkegel  $K_\alpha$  und  $K_\beta$  ergibt. Die Hyperbelscheitel liegen in den Punkten  $O$  und  $S$  (siehe Abb. 3.7).

Der Punkt  $S_\gamma \in h$  kann beliebig gewählt werden. Er wird aus  $S_\alpha$  beziehungsweise  $S_\beta$  auf  $\alpha$  beziehungsweise  $\beta$  projiziert. Die Schnittpunkte werden mit  $A$  und  $B$  bezeichnet und stellen neben  $O$  die Berührungspunkte der Zykeln  $\alpha, \beta$  und  $\gamma$  dar.

Deren Projektionen aus  $S_\alpha$  und  $S_\beta$  auf  $[Z, A_1]$  und  $[Z, A_2]$  benennen wir mit  $T_1$  und  $T_2$ . Sie sind die gesuchten zyklographischen Originale der „neoarchimedischen“ Kreise.



### 3 Verallgemeinerter Arbelos

Es wird nun folgende Behauptung bewiesen:

$$[T_1, T_2] \parallel [M_\alpha, M_\beta]$$

a) Es gilt:

$$h(S_\gamma) \stackrel{S_\beta}{\bar{\wedge}} x(B) \stackrel{S_\alpha}{\bar{\wedge}} p_2(T_2) \qquad h(S_\gamma) \stackrel{S_\alpha}{\bar{\wedge}} x(A) \stackrel{S_\beta}{\bar{\wedge}} p_1(T_1)$$

Daraus folgt, dass  $p_1(T_1) \bar{\wedge} p_2(T_2)$ .

b) Wir wählen nun  $S_\gamma$  in „speziellen Punkten“:

–  $S_\gamma = O$  Daraus ergibt sich:  $A = B = O$

$T_1$  und  $T_2$  sind somit Fernpunkte von  $p_1$  und  $p_2$ .

–  $S_\gamma = S$  Daraus ergibt sich:  $B = 1$  bzw.  $A = 2$

$T_2 = A_1$  und  $T_1 = A_2$

–  $P = N$  (Hyperbelmitte der Hyperbel  $h$ ) Daraus ergibt sich:  $A = B = U$

$T_1 = T_2 = Z$ .

Die Projektivität ist daher sogar eine Perspektivität.

c) Perspektivitätszentrum ist der Schnittpunkt  $[A_1, A_2] \cap$  Ferngerade, also ein Fernpunkt.

Somit gilt

$$[T_1, T_2] \parallel [M_\alpha, M_\beta] \quad \forall P \in h,$$

und die Gleichheit der Radien ist daher bewiesen.

□

## 4 Einige elementargeometrische Beweise für Tripel berührender Kreise

Wir zeigen in diesem Abschnitt einige der vorher mit Methoden der Zyklographie bewiesenen Sätze mit Methoden der Elementargeometrie.

Gegeben sind drei paarweise berührende Kreise  $\alpha$ ,  $\beta$ ,  $\gamma$ . Dabei berühren sich  $\alpha$  und  $\beta$  in  $O$ ,  $\beta$  und  $\gamma$  in  $B$  und  $\alpha$  und  $\gamma$  im Punkt  $A$  (siehe Abb. 4.1). Die Mittelpunkte und Radien der Kreise werden entsprechend mit  $M_\alpha$ ,  $M_\beta$ ,  $M_\gamma$  beziehungsweise mit  $r_\alpha$ ,  $r_\beta$ ,  $r_\gamma$  bezeichnet.

Für die Radien treffen wir folgende Vereinbarung:

Der Radius einer der drei Kreise werde mit negativem Vorzeichen gemessen, wenn der entsprechende Kreis die beiden anderen umschließt. In Abb. 4.1 ist der Radius  $r_\gamma$  negativ.

Die Seitenlängen des Dreiecks  $ABO$  lassen sich mit Hilfe der Radien berechnen. Es gelten

$$\vec{A1} = \frac{-r_\gamma}{r_\alpha} \vec{AO} \quad \text{und} \quad \vec{B2} = \frac{-r_\gamma}{r_\beta} \vec{BO}$$

und daher

$$\vec{O1} = \vec{A1} - \vec{AO} = \frac{-r_\gamma - r_\alpha}{r_\alpha} \vec{AO} \quad \text{und} \quad \vec{O2} = \vec{B2} - \vec{BO} = \frac{-r_\gamma - r_\beta}{r_\beta} \vec{BO}$$

Nach dem Sekantensatz erhalten wir die Beziehung

$$\vec{AO} \cdot \vec{O1} = \vec{BO} \cdot \vec{O2}$$

woraus sofort

$$\frac{r_\gamma + r_\alpha}{r_\alpha} \vec{AO}^2 = \frac{r_\gamma + r_\beta}{r_\beta} \vec{BO}^2$$

#### 4 Einige elementargeometrische Beweise für Tripel berührender Kreise

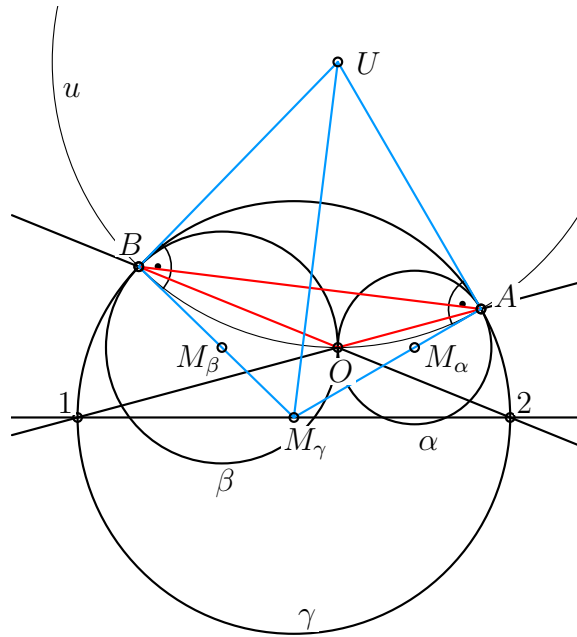


Abbildung 4.1

folgt und durch zyklische Vertauschung gelten auch:

$$\frac{r_\beta + r_\gamma}{r_\gamma} \overrightarrow{BA}^2 = \frac{r_\beta + r_\alpha}{r_\alpha} \overrightarrow{OA}^2$$

$$\frac{r_\alpha + r_\beta}{r_\beta} \overrightarrow{OB}^2 = \frac{r_\alpha + r_\gamma}{r_\gamma} \overrightarrow{AB}^2$$

Die dritte dieser Gleichungen ist von den ersten beiden abhängig.

Das Viereck  $M_\gamma BUA$  ist ein Deltoid mit rechten Winkeln in  $A$  und  $B$ , wobei  $U$  der Umkreismittelpunkt des Dreiecks  $ABO$  ist. Der Umkreisradius soll mit  $r$  bezeichnet werden. Für den Flächeninhalt des Deltoids berechnen wir daher einerseits  $F = |r \cdot r_\gamma|$  und andererseits

$$F^2 = \frac{\overrightarrow{AB}^2 \cdot \overrightarrow{UM_\gamma}^2}{4} = \frac{\overrightarrow{AB}^2 (r^2 + r_\gamma^2)}{4}$$

#### 4 Einige elementargeometrische Beweise für Tripel berührender Kreise

Insgesamt gelten daher wieder nach zyklischer Vertauschung

$$\begin{aligned}\overrightarrow{AB}^2 r_\gamma^2 &= r^2 (4r_\gamma^2 - \overrightarrow{AB}^2) \\ \overrightarrow{BO}^2 r_\beta^2 &= r^2 (4r_\beta^2 - \overrightarrow{BO}^2) \\ \overrightarrow{OA}^2 r_\alpha^2 &= r^2 (4r_\alpha^2 - \overrightarrow{OA}^2)\end{aligned}$$

Elimination des Umkreisradius  $r$  aus den letzten beiden Gleichungen ergibt

$$4r_\alpha^2 r_\beta^2 (\overrightarrow{BO}^2 - \overrightarrow{OA}^2) = (r_\beta^2 - r_\alpha^2) \overrightarrow{BO}^2 \cdot \overrightarrow{OA}^2 \quad (4.1)$$

Daraus und aus zwei der vorhin ermittelten Gleichungen

$$\frac{r_\gamma + r_\alpha}{r_\alpha} \overrightarrow{AO}^2 = \frac{r_\gamma + r_\beta}{r_\beta} \overrightarrow{BO}^2 \quad (4.2)$$

$$\frac{r_\beta + r_\gamma}{r_\gamma} \overrightarrow{BA}^2 = \frac{r_\beta + r_\alpha}{r_\alpha} \overrightarrow{OA}^2 \quad (4.3)$$

$$\frac{r_\alpha + r_\beta}{r_\beta} \overrightarrow{OB}^2 = \frac{r_\alpha + r_\gamma}{r_\gamma} \overrightarrow{AB}^2 \quad (4.4)$$

können aus den Radien die Kantenlängen des Dreiecks  $ABO$  ermittelt werden und umgekehrt. Um die Radien zu berechnen setzen wir für die Vektoren folgende Bezeichnungen fest:

$$\overrightarrow{AO}^2 = a^2 = \overrightarrow{OA}^2, \quad \overrightarrow{BO}^2 = b^2 = \overrightarrow{OB}^2, \quad \overrightarrow{AB}^2 = c^2 = \overrightarrow{BA}^2.$$

Die Gleichungen (4.3) und (4.4) formen wir um zu:

$$r_\gamma [a^2(r_\alpha + r_\beta) - c^2 r_\alpha] = c^2 r_\alpha r_\beta \quad (4.5)$$

$$r_\gamma [b^2(r_\alpha + r_\beta) - c^2 r_\beta] = c^2 r_\alpha r_\beta \quad (4.6)$$

Die Division von (4.5) durch (4.6) liefert:

$$\begin{aligned}\frac{a^2(r_\alpha + r_\beta) - c^2 r_\alpha}{b^2(r_\alpha + r_\beta) - c^2 r_\beta} &= 1 \\ r_\alpha(-a^2 + b^2 + c^2) &= r_\beta(a^2 - b^2 + c^2)\end{aligned} \quad (4.7)$$

#### 4 Einige elementargeometrische Beweise für Tripel berührender Kreise

Die Gleichung (4.1) wird umgeformt zu:

$$r_\alpha^2 a^2 b^2 = r_\beta^2 [a^2 b^2 + 4r_\alpha^2 (a^2 - b^2)] \quad (4.8)$$

Die Gleichung (4.8) wird durch das Quadrat der Gleichung (4.7) dividiert und wir erhalten daraus den Radius  $r_\alpha$  des Kreises  $\alpha$ :

$$\frac{a^2 b^2}{(-a^2 + b^2 + c^2)^2} = \frac{a^2 b^2 + 4r_\alpha^2 (a^2 - b^2)}{(a^2 - b^2 + c^2)^2}$$

$$r_\alpha = \frac{abc}{-a^2 + b^2 + c^2}$$

So ergibt sich folgende Lösung bei den gegebenen Seitenlängen  $a$ ,  $b$  und  $c$  des Dreiecks:

$$r_\alpha = \frac{abc}{-a^2 + b^2 + c^2}, \quad r_\beta = \frac{abc}{a^2 - b^2 + c^2}, \quad r_\gamma = \frac{abc}{a^2 + b^2 - c^2}.$$

Umgekehrt lassen sich aus gegebenen Radien  $r_\alpha$ ,  $r_\beta$  und  $r_\gamma$  die Seitenlängen des Dreiecks wie folgt ermitteln:

$$\overrightarrow{AB}^2 = \frac{4r_\alpha r_\beta r_\gamma^2}{(r_\alpha + r_\gamma)(r_\beta + r_\gamma)}, \quad \overrightarrow{OA}^2 = \frac{4r_\alpha^2 r_\beta r_\gamma}{(r_\beta + r_\alpha)(r_\gamma + r_\alpha)}, \quad \overrightarrow{OB}^2 = \frac{4r_\alpha r_\beta^2 r_\gamma}{(r_\gamma + r_\beta)(r_\alpha + r_\beta)}.$$

**Bemerkung 4.** Die Ermittlung der Seitenlängen des Dreiecks der Berührungspunkte  $ABO$  ist von der zu Beginn fixierten Verteilung der Vorzeichen der Radien (und damit der Orientierung der Berührung) abhängig.

Wir bestimmen nun die von den Berührungspunkten  $A$ ,  $B$  und  $O$  der Kreise  $\alpha$ ,  $\beta$  und  $\gamma$  verschiedenen Ähnlichkeitszentren  $Z_A$ ,  $Z_B$  und  $Z_O$  und zeigen der Reihe nach:

1. Das Ähnlichkeitszentrum  $Z_A$  gehört der Geraden  $[A,O]$  an.

*Beweis.* Wir betrachten die Ähnlichkeit  $\zeta_A$ , mit Zentrum  $A$ :

$$\begin{aligned} \zeta_A : \quad \alpha &\mapsto \gamma \\ M_\alpha &\mapsto M_\gamma \\ O &\mapsto 1 \end{aligned}$$

#### 4 Einige elementargeometrische Beweise für Tripel berührender Kreise

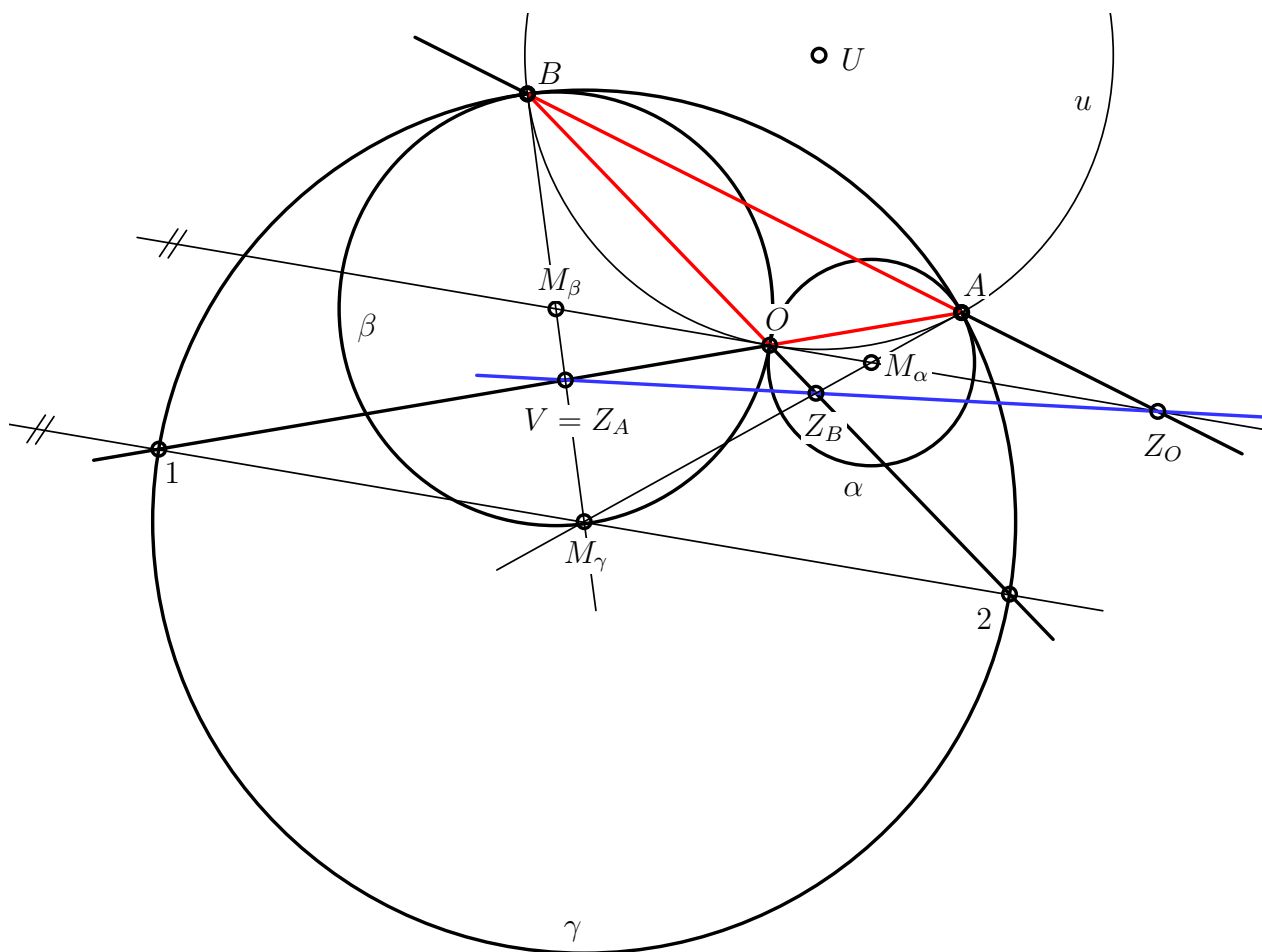


Abbildung 4.2: Konstruktion der Ähnlichkeitszentren

Die Verbindungsgeraden  $[1, M_\gamma]$  und  $[M_\alpha, M_\beta]$  sind daher parallel. Sei  $V$  der Schnittpunkt von  $[M_\beta, M_\gamma]$  und  $[A, O]$ . Die Ähnlichkeit mit Zentrum  $V$ , die den Punkt 1 nach  $O$  bringt, transformiert wegen obiger Parallelität daher  $M_\gamma$  in  $M_\beta$  und somit auch  $\gamma$  in  $\beta$ .  $V$  stimmt daher mit dem Ähnlichkeitszentrum  $Z_A$  überein (siehe Abb. 4.2). □

2. Analog liegt das Ähnlichkeitszentrum  $Z_B$  im Schnittpunkt der Geraden  $[B, O]$  und  $[M_\alpha, M_\gamma]$ . Da auch die Verbindung des zweiten Schnittpunktes 2 von  $[B, O]$  und  $\gamma$  mit  $M_\gamma$  parallel zu  $[M_\alpha, M_\beta]$  liegt, bildet die Gerade  $[1, 2]$  den zu  $[M_\alpha, M_\beta]$  parallelen Durchmesser des Kreises  $\gamma$ .

#### 4 Einige elementargeometrische Beweise für Tripel berührender Kreise

3. Die so konstruierten Ähnlichkeitszentren

$$Z_A = ([A, O], [M_\beta, M_\gamma]) \quad Z_B = ([B, O], [M_\alpha, M_\gamma]) \quad Z_O = ([A, B], [M_\alpha, M_\beta])$$

liegen auf einer gemeinsamen Geraden (siehe Abb. 4.2).

*Beweis.* Wir betrachten den Umkreis  $u$  des Dreiecks  $ABO$ . Für die sechs Punkte  $1 = 2 := A$ ,  $3 = 4 := B$ ,  $5 = 6 := O$  gilt nach dem Satz von Pascal: Die Schnittpunkte der Verbindungen

$$[1, 2] \cap [4, 5] = Z_B \quad [3, 4] \cap [6, 1] = Z_A \quad [5, 6] \cap [2, 3] = Z_O$$

sind kollinear. □

4. Die Gerade  $[A, B]$  schneidet die beiden Kreise  $\alpha$  und  $\beta$  in zwei weiteren Punkten  $A^*$  und  $B^*$  (siehe Abb. 4.3), in denen die Verbindungsgeraden mit der jeweiligen Kreismitte parallel zu  $[M_\alpha, A]$  bzw.  $[M_\beta, B]$  sind. Die beiden Geraden  $[M_\beta, B^*]$  und  $[M_\alpha, A^*]$  schneiden sich im Punkt  $M_\gamma^*$ . Die eben angesprochenen Parallelitäten weisen das Viereck  $M_\gamma M_\beta M_\gamma^* M_\alpha$  als Parallelogramm aus. Der den Punkt  $B^*$  enthaltende Kreis mit Mitte  $M_\gamma^*$  werde mit  $\gamma^*$  bezeichnet. Für seinen Radius  $r_\gamma^* > 0$  gewinnen wir:  $r_\gamma^* = -r_\alpha - r_\beta - r_\gamma$ . Dieser Wert stimmt genau mit dem Abstand des Punktes  $A^*$  von  $M_\gamma^*$  überein. Der Kreis  $\gamma^*$  enthält daher auch den Punkt  $A^*$  und berührt nach Konstruktion dort den Kreis  $\alpha$ .

**Bemerkung 5.** Wenn  $\gamma$  die Kreise  $\alpha$  und  $\beta$  nicht umfasst, erhalten wir analoge Beziehungen.

5. Die im vorigen Punkt gezeigte Konstruktion kann für alle Seiten des Dreiecks  $ABO$  durchgeführt werden. Sie führt auf insgesamt drei kongruente Kreise  $\alpha^*$ ,  $\beta^*$  und  $\gamma^*$ , die in entsprechenden Punkten Paare der Kreise  $\alpha$ ,  $\beta$ ,  $\gamma$  berühren. Nach Konstruktion ist das Dreieck  $M_\alpha^*, M_\beta^*, M_\gamma^*$  der Mittelpunkte dieser Kreise ähnlich zum Dreieck der Mittelpunkte  $M_\alpha M_\beta M_\gamma$ .

6. Da der Abstand des Punktes  $M_\beta$  vom Punkt  $M_\gamma^*$  den Wert  $r_\gamma^* + r_\beta = -r_\alpha - r_\beta - r_\gamma + r_\beta = -r_\alpha - r_\gamma$  besitzt, und er auch als Abstand des Punktes  $M_\alpha^*$  von  $M_\beta$  auftritt, ist  $M_\beta$  Mitte der Strecke  $M_\alpha^* M_\gamma^*$ . Analog ist  $M_\alpha$  Mittelpunkt der Strecke  $M_\beta^* M_\gamma^*$ ;  $M_\gamma$  ist Mitte der Strecke  $M_\alpha^* M_\beta^*$ .

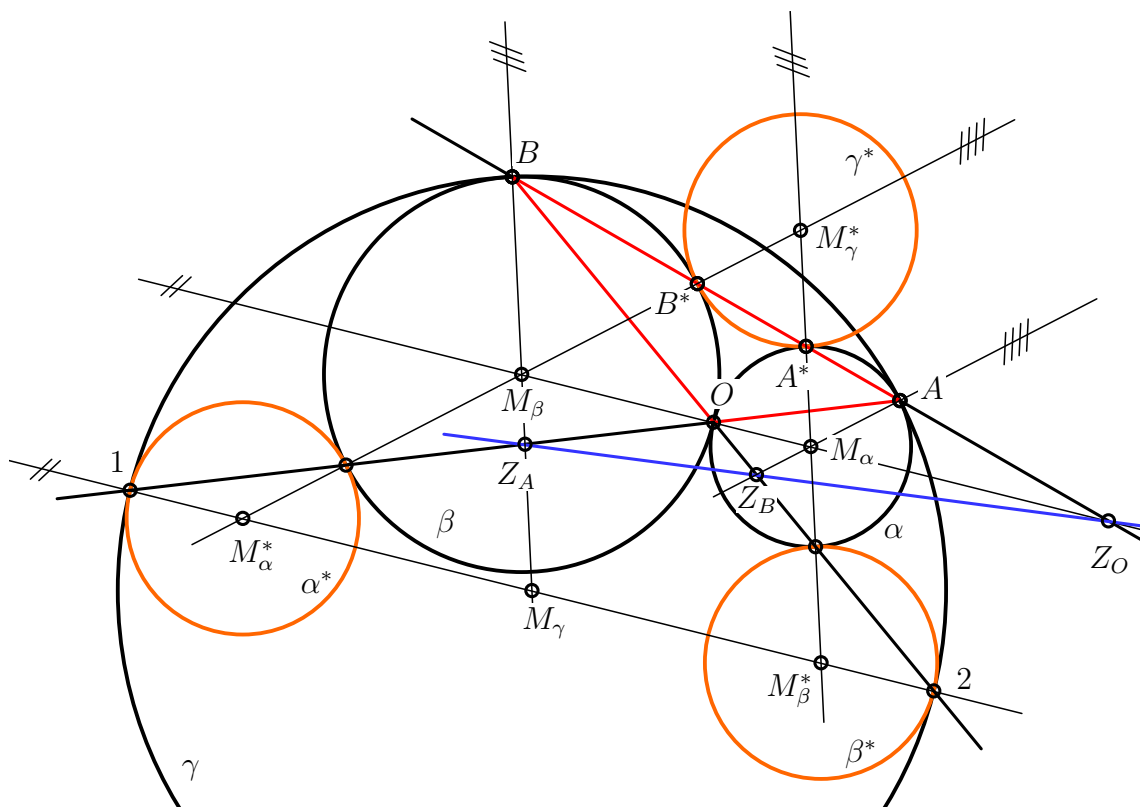


Abbildung 4.3: Kongruente Kreise

7. Nun wollen wir aus einem der Berührungspunkte zweier der Basiskreise (etwa dem Berührungspunkt  $A$  der Kreise  $\alpha$  und  $\gamma$ ) die Tangenten an den dritten Kreis  $\beta$  legen. Dann gibt es bis auf den bereits vorhandenen Kreis  $\beta$  genau einen Kreis  $\beta_\gamma$  mit Mitte auf der Verbindung  $[A, M_\beta]$ , der diese Tangenten und den Kreis  $\gamma$  berührt.

Zur Konstruktion dieses Kreises verwenden wir die Ähnlichkeit mit Zentrum  $A$ , die den Kreis  $\alpha$  in den Kreis  $\gamma$  überführt. Sie transformiert den Berührungspunkt  $O$  der Kreise  $\alpha$  und  $\beta$  in den Berührungspunkt 3 des Kreises  $\gamma$  mit dem Bildkreis von  $\beta$ . Da dieser auch die eben konstruierten Tangenten berührt, handelt es sich bei diesem Kreis bereits um den gesuchten Kreis  $\beta_\gamma$ . Sein Mittelpunkt ist der Punkt  $N_\beta$ . Der Ähnlichkeitsfaktor dieser Ähnlichkeit ist  $\frac{r_\gamma}{r_\alpha}$ , womit wir für den Radius  $r_{\beta_\gamma}$  des Kreises  $\beta_\gamma$  den Wert

$$r_{\beta_\gamma} = r_\beta \frac{r_\gamma}{r_\alpha}$$

erhalten.

8. Analog gehen wir nun für den Punkt  $O$  vor und legen die Tangenten an  $\gamma$ : Wir



#### 4 Einige elementargeometrische Beweise für Tripel berührender Kreise

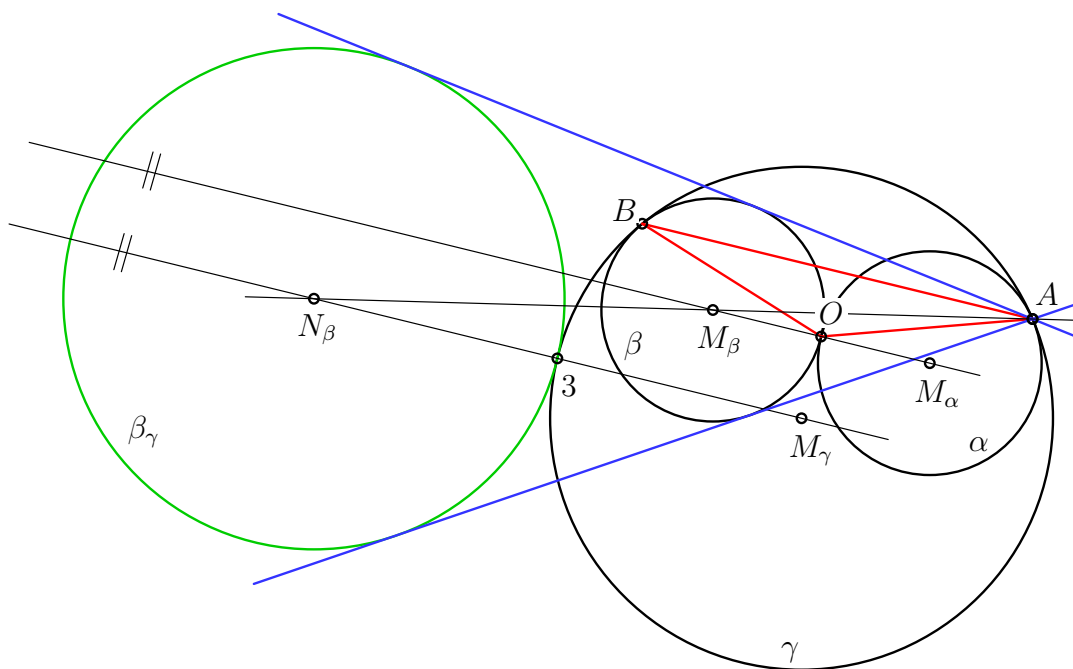


Abbildung 4.4: Konstruktion des berührenden Kreises  $\beta_\gamma$

ermitteln jenen von  $\gamma$  verschiedenen Kreis  $\gamma_\beta$  mit Mitte auf der Verbindung  $[O, M_\gamma]$ , der nicht nur diese beiden Tangenten, sondern auch den Kreis  $\beta$  berührt. In Abb. 4.5 können zwar keine Tangenten an  $\gamma$  gelegt werden, aber die Ähnlichkeit mit Zentrum  $O$ , die  $\alpha$  in  $\beta$  überführt, liefert den Kreis  $\gamma_\beta$  als Bildkreis von  $\gamma$ .

9. Nun gilt: Die beiden soeben ermittelten Kreise sind kongruent.

*Beweis.* Der Kreis  $\beta_\gamma$  besitzt nach obigen Ausführungen den Radius  $r_{\beta_\gamma} = r_\beta \frac{r_\gamma}{r_\alpha}$ . Analoge Überlegungen liefern für den Radius  $r_{\gamma_\beta}$  den Wert  $r_{\gamma_\beta} = r_\gamma \frac{r_\beta}{r_\alpha}$ . Damit stimmen die Radien der beiden Kreise  $\beta_\gamma$  und  $\gamma_\beta$  überein.  $\square$

10. Zusätzlich haben wir:

Die Verbindungsgerade  $[N_\beta, N_\gamma]$  ist parallel zur Geraden  $[A, O]$ .

*Beweis.* Die Tangenten der Kreise  $\beta_\gamma$  und  $\gamma_\beta$  in den Punkten 1 und 5 sind parallel. Da die beiden Kreise gleich groß sind und auf der gleichen Seite der Tangenten liegen, ist  $[N_\beta, N_\gamma]$  parallel zur Verbindung  $[1, 5]$ .  $\square$

#### 4 Einige elementargeometrische Beweise für Tripel berührender Kreise

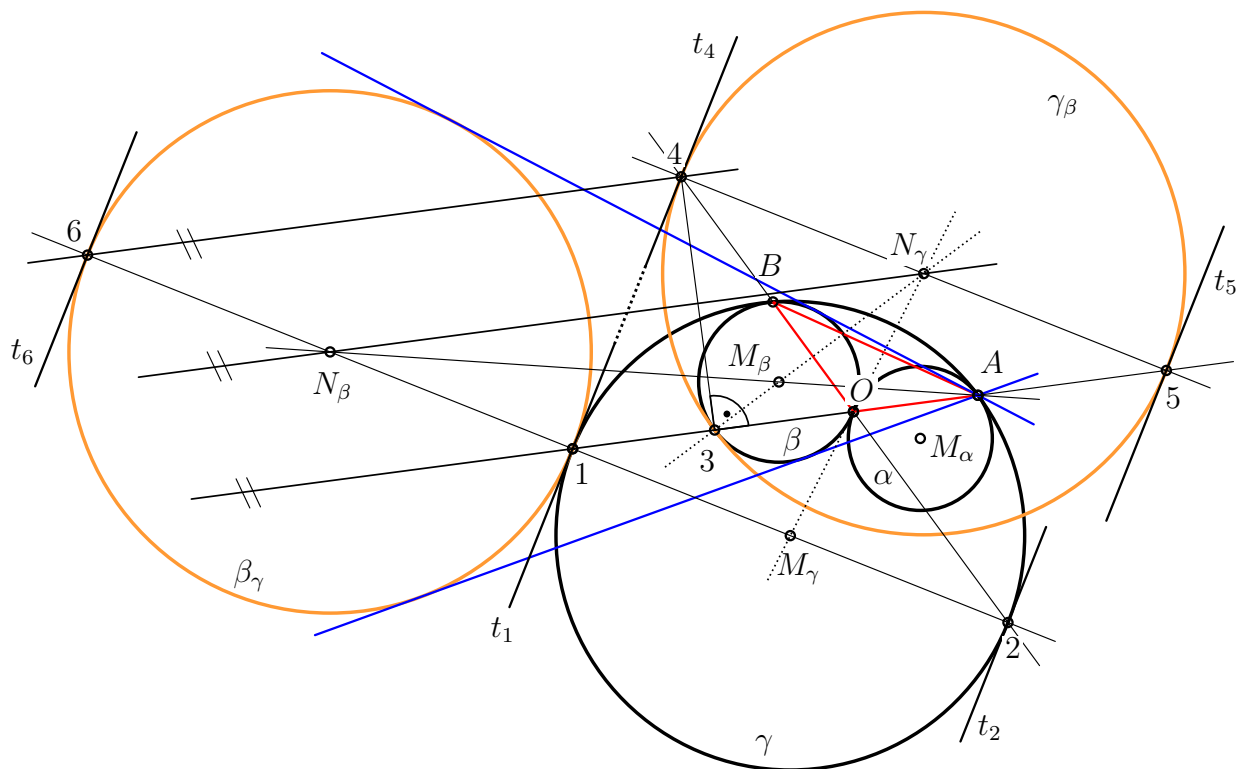


Abbildung 4.5: Kongruente Kreise  $\beta_\gamma$  und  $\gamma_\beta$

11. Ferner können wir die Berührtangente  $t_1$  der Kreise  $\gamma$  und  $\beta_\gamma$  betrachten. Bei der vorhin angesprochenen Ähnlichkeit mit Zentrum  $O$  gehen die Durchmesserendpunkte 1 und 2 von  $\gamma$  (mit parallelen Tangenten  $t_1$  und  $t_2$ ) in die Durchmesserendpunkte 4 und 5 von  $\gamma_\beta$  (mit zu  $t_1$  parallelen Tangenten  $t_4$  und  $t_5$ ) über. Nun beweisen wir zusätzlich:  $t_1$  und  $t_4$  fallen sogar in eine Gerade zusammen. Dies beweist die im Abschnitt 3 offen gebliebene Eigenschaft.

*Beweis.* Zum Beweis betrachten wird das Dreieck 541 und zeigen, dass es einen rechten Winkel im Punkt 4 besitzt. Die Strecke 34 trägt eine Höhe in diesem Dreieck. Wir berechnen nun:

$$\begin{aligned} \vec{13} &= \vec{OA} \frac{-r_\gamma - r_\alpha - r_\beta}{r_\alpha} \\ \vec{35} &= -\vec{OA} \frac{r_\beta r_\gamma}{r_\alpha^2} \end{aligned}$$

#### 4 Einige elementargeometrische Beweise für Tripel berührender Kreise

Weiters gilt nach dem Satz von Pythagoras:

$$\overrightarrow{34}^2 = 4r_{\gamma\beta}^2 - \overrightarrow{35}^2 = \frac{(r_\beta r_\gamma)^2}{r_\alpha^2} \left( 4 - \overrightarrow{OA}^2 \frac{1}{r_\alpha^2} \right).$$

Wir bilden

$$\overrightarrow{34}^2 - \overrightarrow{35} \cdot \overrightarrow{13} = \frac{(r_\beta r_\gamma)^2}{r_\alpha^2} \left( 4 - \overrightarrow{OA}^2 \frac{1}{r_\alpha^2} \right) + \overrightarrow{OA}^2 \frac{r_\beta r_\gamma (-r_\gamma - r_\alpha - r_\beta)}{r_\alpha^3}$$

und errechnen

$$\overrightarrow{34}^2 - \overrightarrow{35} \cdot \overrightarrow{13} = \frac{4(r_\beta r_\gamma)^2}{r_\alpha^2} - \overrightarrow{OA}^2 r_\beta r_\gamma \frac{(r_\gamma + r_\alpha)(r_\beta + r_\alpha)}{r_\alpha^4}.$$

Nun ist nach unseren anfänglichen Berechnungen

$$\overrightarrow{OA}^2 = \frac{4r_\alpha^2 r_\beta r_\gamma}{(r_\gamma + r_\alpha)(r_\beta + r_\alpha)},$$

was sofort auf  $\overrightarrow{34}^2 - \overrightarrow{35} \cdot \overrightarrow{13} = 0$  führt. Da im Dreieck 541 der Höhensatz gilt, ist es rechtwinkelig mit rechtem Winkel im Punkt 4.  $\square$

12. Damit lassen sich nun zu jedem der Berührungspunkte  $A$ ,  $B$  und  $O$  zwei solche Berührungskreise ermitteln. Ihre Radien sind der Reihe nach

$$r_{\alpha\beta} = \frac{r_\alpha r_\beta}{r_\gamma} = r_{\beta\alpha}, \quad r_{\beta\gamma} = \frac{r_\beta r_\gamma}{r_\alpha} = r_{\gamma\beta}, \quad r_{\gamma\alpha} = \frac{r_\gamma r_\alpha}{r_\beta} = r_{\alpha\gamma}.$$

Auf diese Art entstehen insgesamt sechs solche Berührungskreise, die zu Paaren kongruent sind (siehe Abb. 4.6).

4 Einige elementargeometrische Beweise für Tripel berührender Kreise

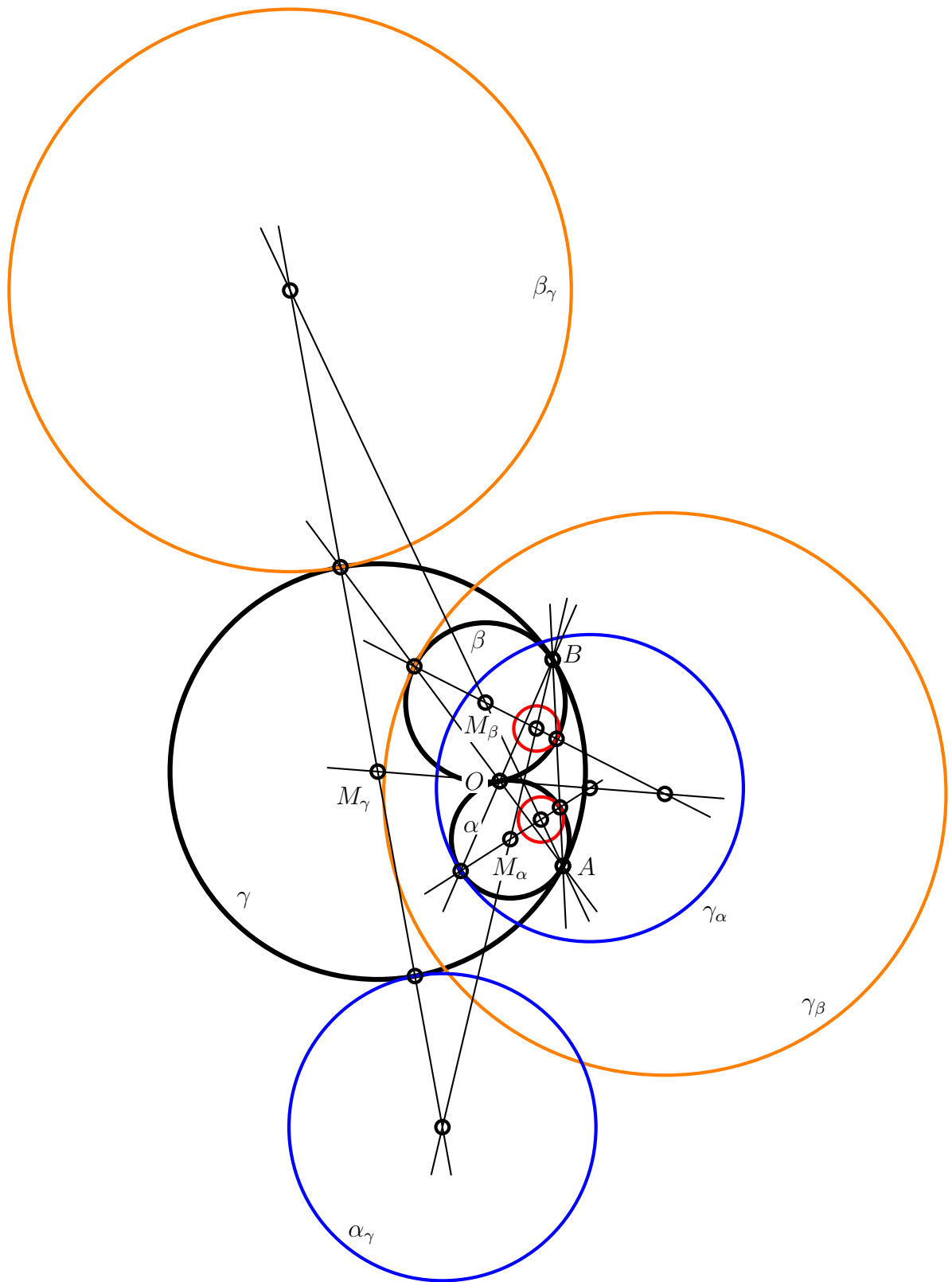


Abbildung 4.6: Paare kongruenter Kreise

# Literaturverzeichnis

- [1] Brauner, H.: Lehrbuch der Konstruktiven Geometrie. Springer, Wien, New York, 1986.
- [2] Johnson, R. A.: Advanced Euclidean Geometry (Modern Geometry). An Elementary Treatise on the Geometry of the Triangle and the Circle. New York: Dover Publications, Inc., 1960.
- [3] Köller, J.: Arbelos unter <http://www.mathematische-basteleien.de/arbelos.htm> (abgerufen am 27. April 2014).
- [4] Müller, E., Krames, J.: Vorlesungen über Darstellende Geometrie II: Die Zyklographie. Deuticke, Leipzig, Wien, 1929.
- [5] Nakajima R., Okumura, H.: Archimedean Circles Induced by Skewed Arbeloi. Journal for Geometry and Graphics **16**, S. 13 – 17 (2012).
- [6] Okumura, H.: Archimedean Circles of the Collinear Arbelos and the Skewed Arbelos. Journal for Geometry and Graphics **17**, S. 31 – 52 (2013).
- [7] Okumura, H.: Ubiquitous Archimedean Circles of the Collinear Arbelos. KoG **16**, S. 17 – 20 (2012).
- [8] Okumura H., Watanabe, M.: Characterizations of an Infinite Set of Archimedean Circles. Forum Geometricorum **7**, S. 121 – 123, (2007).
- [9] Okumura, H., Watanabe, M.: The Twin Circles of Archimedes in a Skewed Arbelos. Forum Geometricorum **4**, S. 229 – 251, (2004)
- [10] Pillwein, G., Müllner, R., Kollars, K.: DG8. Darstellende Geometrie für die 8. Klasse AHS. öbv&hpt, Wien, 2002.
- [11] Pottmann, H., Wallner, J.: Computational Line Geometry. Springer, Berlin Heidelberg, 2001.

### *Literaturverzeichnis*

- [12] Röschel, O.: Nichtlineare Abbildungsmethoden. Mitschrift zur Vorlesung, SS 2006. Technische Universität Graz. Institut für Geometrie.
- [13] Wagner, A.: Potenzen und Potenzgeraden, unter: [cage.ugent.be/~klein/geometrie-WS2004/12\\_Wagner\\_Anja.doc](http://cage.ugent.be/~klein/geometrie-WS2004/12_Wagner_Anja.doc) (abgerufen am 12. März 2014).
- [14] Weisstein, E. W.: „Arbelos.“ unter MathWorld—A Wolfram Web Resource. <http://mathworld.wolfram.com/Arbelos.html> (abgerufen am 27. April 2014).
- [15] Wikipedia (Hrsg.) (2013): Potenz, [http://de.wikipedia.org/wiki/Potenz\\_\(Geometrie\)](http://de.wikipedia.org/wiki/Potenz_(Geometrie)) (abgerufen am 12. März 2014).
- [16] Wikipedia (Hrsg.) (2013): Potenzgerade, <http://de.wikipedia.org/wiki/Potenzgerade> (abgerufen am 12. März 2014).
- [17] Wikipedia (Hrsg.) (2013): Arbelos, <http://de.wikipedia.org/wiki/Arbelos> (abgerufen am 27. April 2014).